

# Adattività di griglia guidata da stimatori dell'errore

Simona Perotto

<http://mox.polimi.it/it/progetti/adattivita.php3>

# Contenuti della lezione

- ▶ Utilità di uno stimatore dell'errore.
- ▶ Adattività di griglia: esempi di adattività di griglia in CFD.
- ▶ Passo 1: stimatori dell'errore:
  - Adattività basata sul controllo dell'errore d'interpolazione.
  - Adattività basata su stimatori a priori dell'errore.
  - Adattività basata su stimatori a posteriori dell'errore.
- ▶ Passo 2: tecniche di adattività.

# Utilità di uno stimatore dell'errore

Step 1: **problema** applicativo d'interesse.

Step 2: **modellazione** con equazioni differenziali (leggi di conservazione, principi della fisica), di cui (solitamente) non si conosce la soluzione.

Step 3: **approssimazione** delle equazioni (differenze finite, elementi finiti, volumi finiti, etc.).

Step 4: **simulazione numerica**  $\Rightarrow$  **soluzione numerica**.

Uno dei principali obiettivi del calcolo scientifico è proprio un controllo affidabile dell'errore legato alla procedura sintetizzata nei passi precedenti.

Possibili sorgenti di errore per la soluzione numerica:

- ▶ errori sui **dati** (errori di misura);
- ▶ errori di **modello** (fenomeni descritti solo parzialmente);
- ▶ errori di **discretizzazione** (legati all'approssimazione numerica);
- ▶ errori **geometrici** (linearizzazione dei bordi del dominio);
- ▶ errori di **quadratura** (approssimazione di integrali);
- ▶ errori di **arrotondamento** (aritmetica floating-point).

Il nostro interesse è rivolto all'errore di discretizzazione e ad un suo controllo opportuno.

L'errore di discretizzazione fornisce:

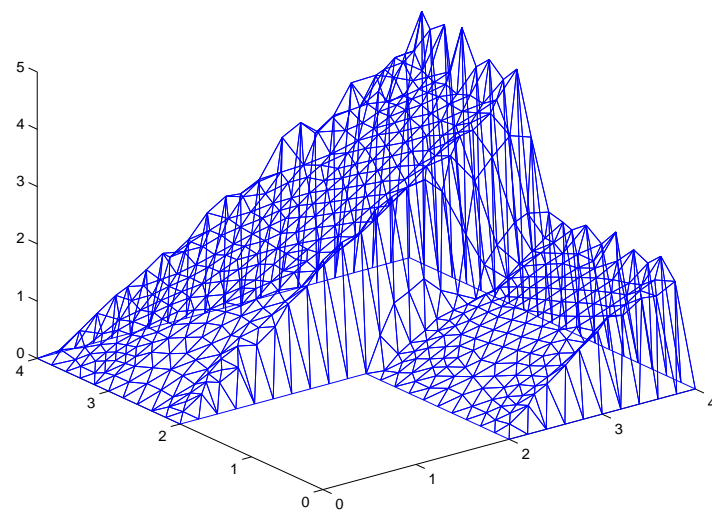
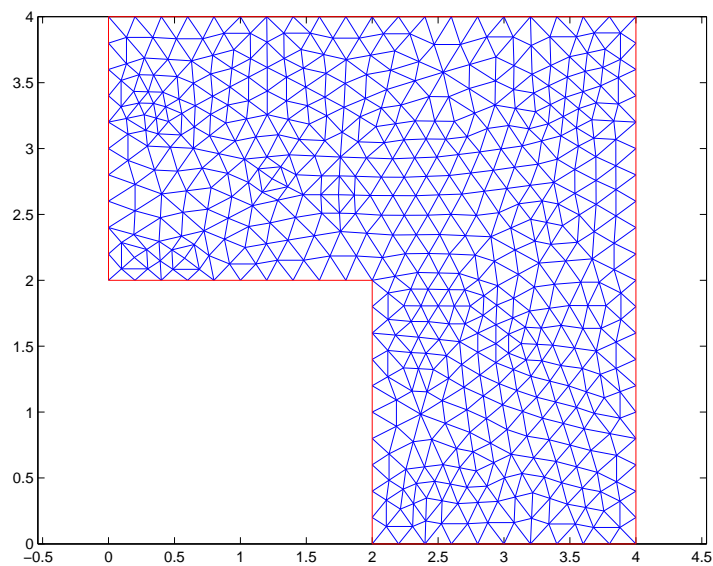
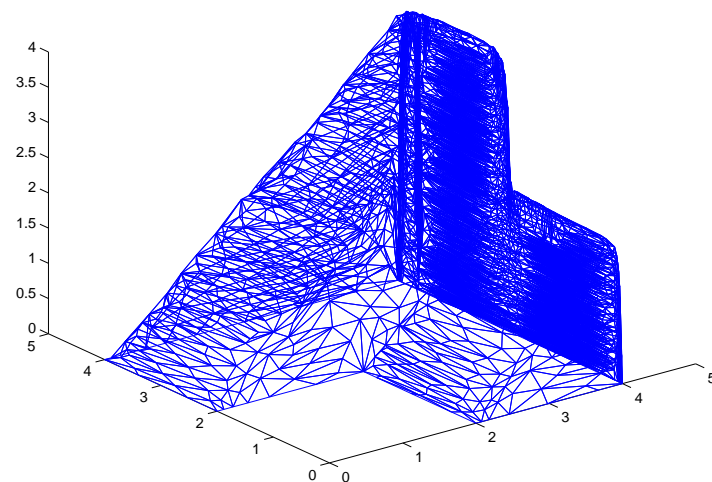
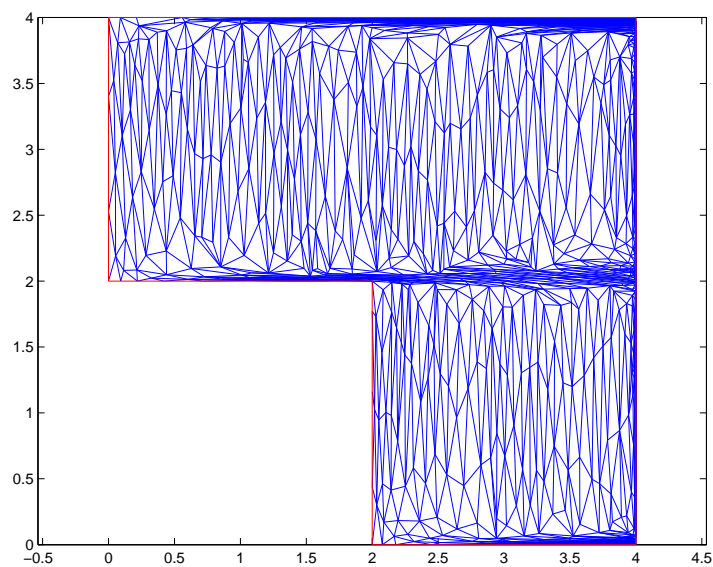
- ▶ una misura dell'**affidabilità** dell'**approssimazione** adottata (lower e upper bounds);
- ▶ uno strumento per guidare l'**adattamento di griglia**, ovvero per avere una griglia computazionale più adatta per il problema in esame.



## Riferimenti Bibliografici

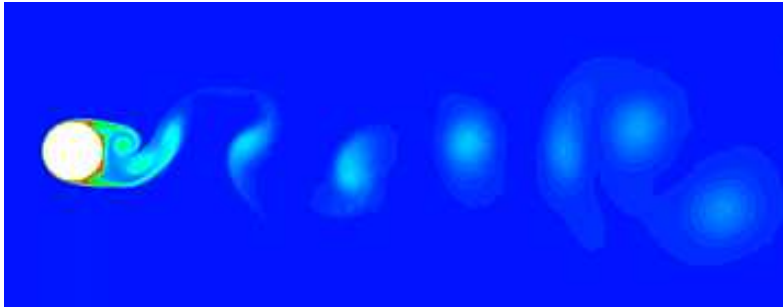
- ▶ R. Verfürth, *A Review of A-Posteriori Error Estimation and Adaptive Mesh-Refinement Techniques*, Wiley & Teubner, 1996.
- ▶ M. Ainsworth, J.T. Oden, *A Posteriori Error Estimation in Finite Element Analysis*, Wiley-Interscience, 2000.
- ▶ K. Eriksson, D. Estep, P. Hansbo, C. Johnson, *Computational Differential Equations*, Cambridge University Press, 1996.

# Adattività di griglia

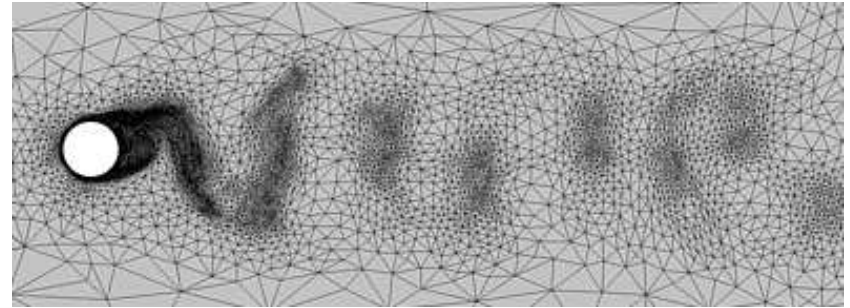


con e senza adattività

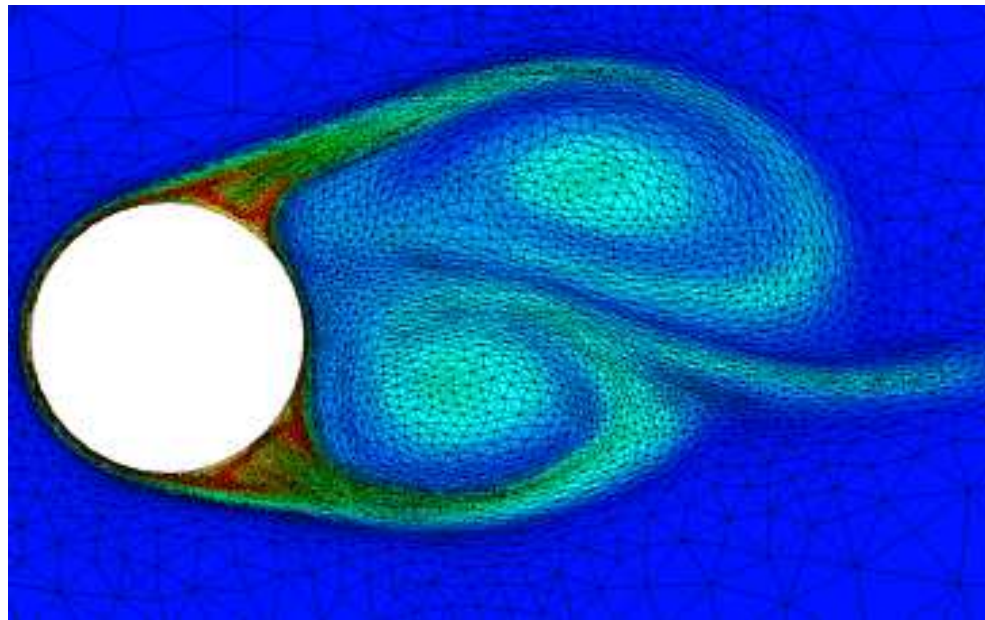
# Adattività di griglia in CFD: flusso attorno ad un cilindro riscaldato



campo di temperatura



mesh adattata

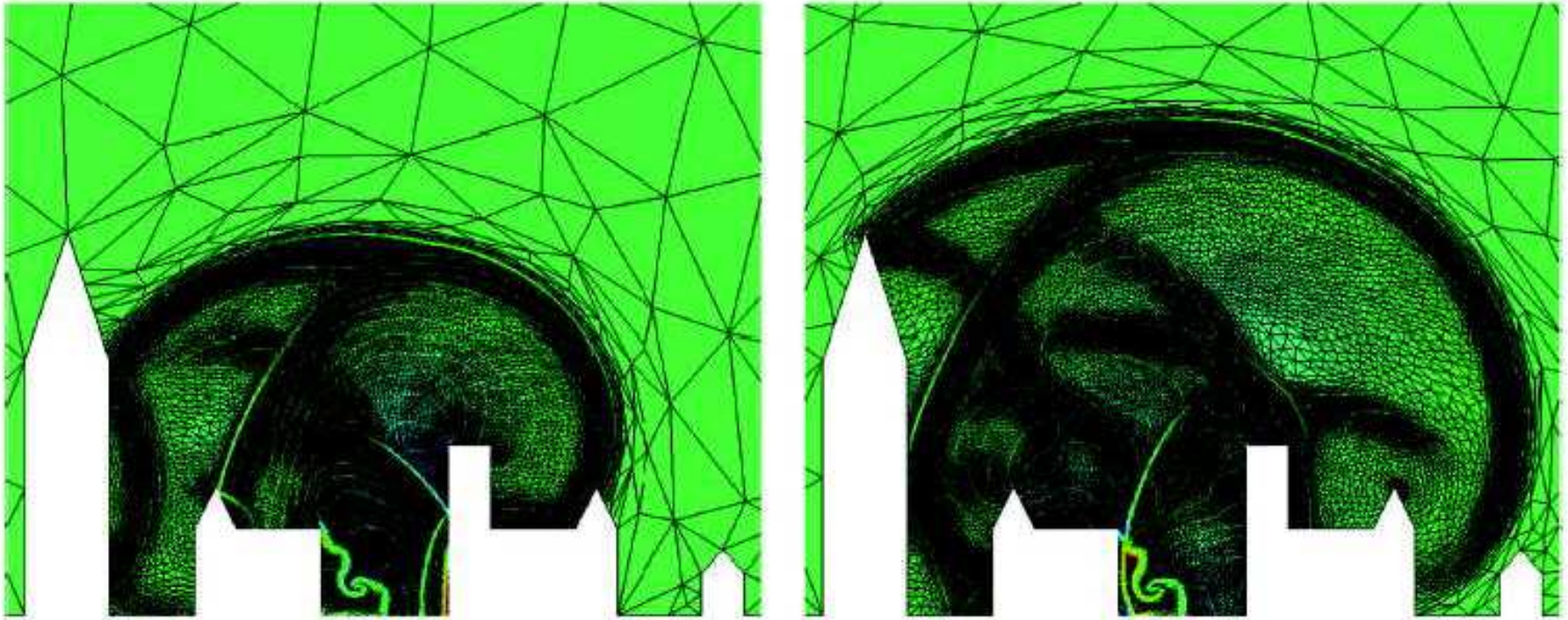


campo di temperatura e mesh adattata sovrapposte

[[http://amcg.es.ic.ac.uk/index.php?title=Mesh\\_Adaptivity](http://amcg.es.ic.ac.uk/index.php?title=Mesh_Adaptivity)]



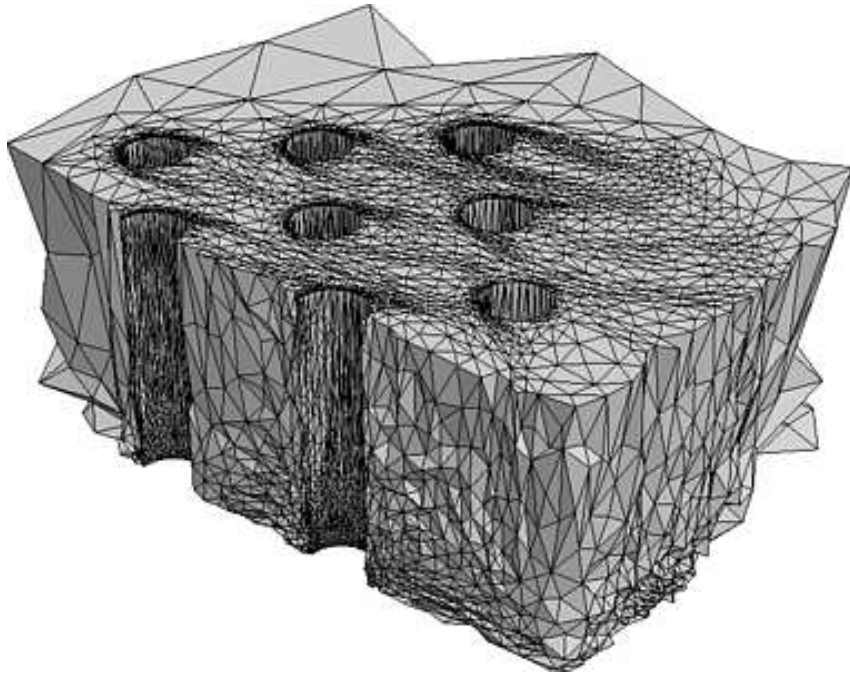
# Adattività di griglia in CFD: propagazione di un'onda (esplosione)



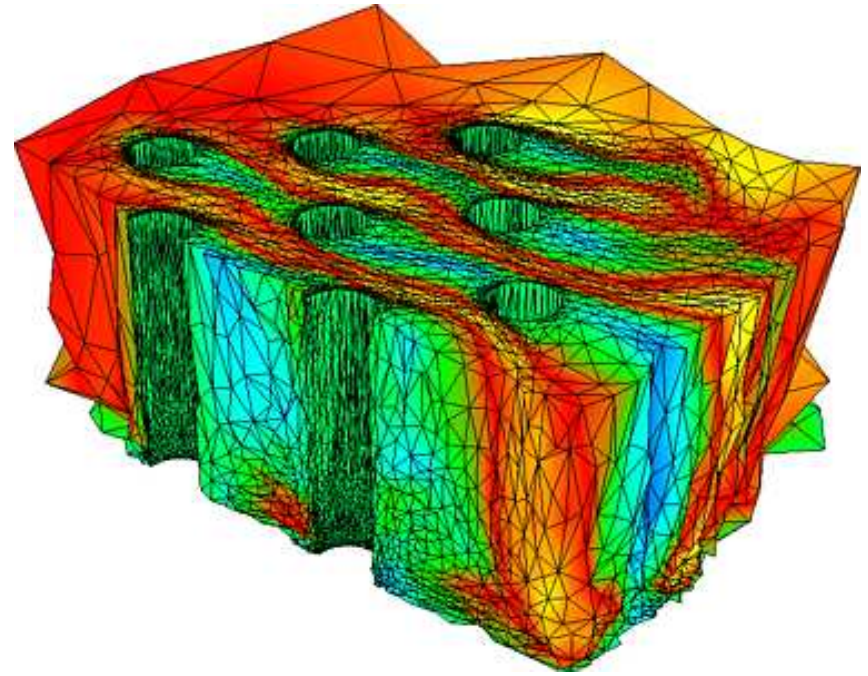
griglie anisotrope

[*F. Alauzet, P.J. Frey, B. Mohammadi, 2003*]

# Adattività di griglia in CFD: flusso attorno ad un fascio di tubi



mesh adattata

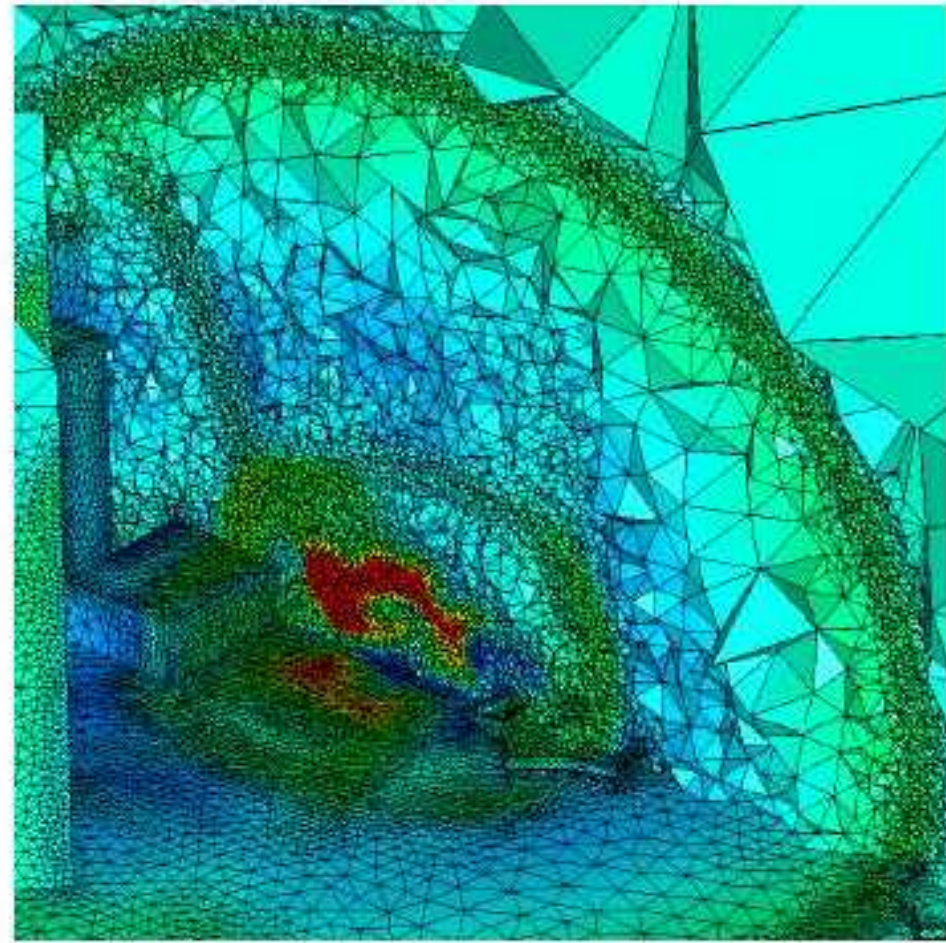
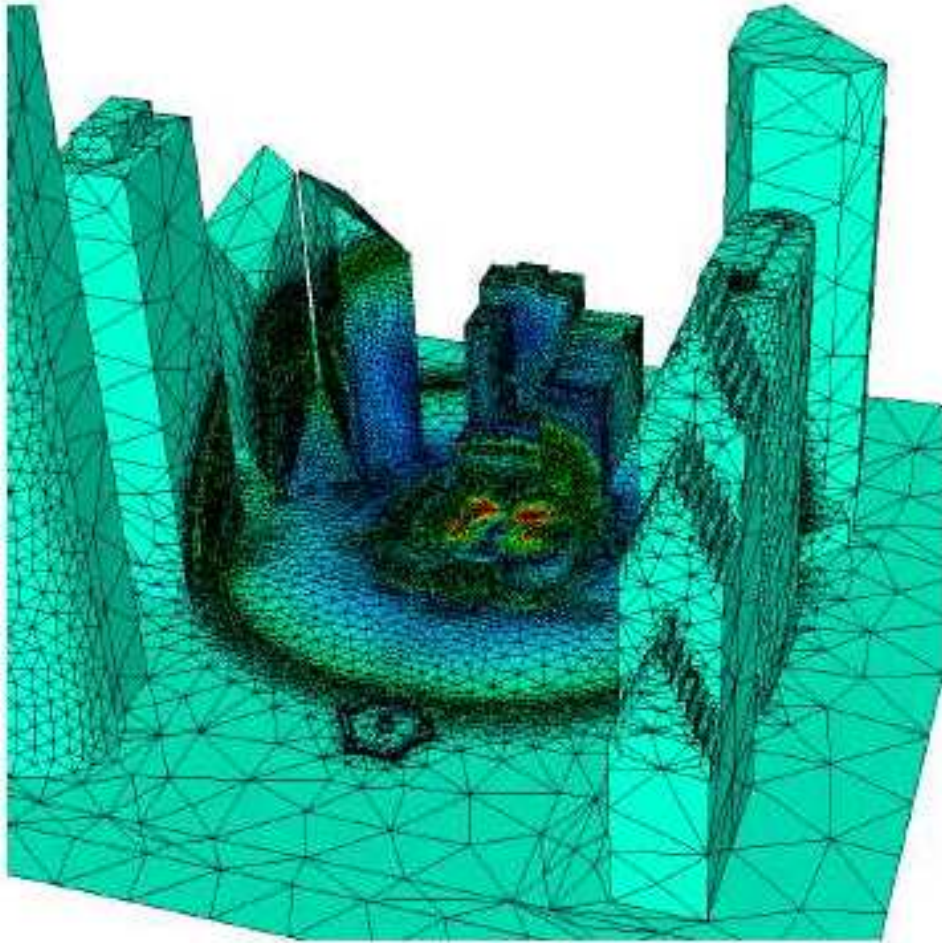


componente  $u$  della velocità

[[http://amcg.es.ic.ac.uk/index.php?title=Mesh\\_Adaptivity](http://amcg.es.ic.ac.uk/index.php?title=Mesh_Adaptivity)]



# Adattività di griglia in CFD: propagazione di un'onda (esplosione)



griglie isotrope

[F. Alauzet, P.J. Frey, B. Mohammadi, 2003]

## Azzeraamento

Consideriamo il **problema** differenziale **modello** (equazione di **Poisson** con **condizioni al bordo miste**): trovare  $u : \Omega \rightarrow \mathbb{R}$

$$\begin{cases} -\Delta u = f & \text{in } \Omega \subset \mathbb{R}^2 \\ u = 0 & \text{su } \Gamma_D \\ \partial_n u = g & \text{su } \Gamma_N \end{cases} \quad (\text{PM})$$

con  $\Delta u = \partial_{xx}u + \partial_{yy}u$  **laplaciano** di  $u$ ;  $f$  e  $g$  funzioni assegnate;  
 $\Gamma_D \cup \Gamma_N = \partial\Omega$ ,  $\Gamma_D \cap \Gamma_N = \emptyset$ .

**Step 1.** Formulazione **debole**: trovare  $u \in V$ , tale che

$$a(u, v) = (\nabla u, \nabla v) = (f, v) + (g, v)_{\Gamma_N} \quad \forall v \in V, \quad (\text{FD})$$

con  $V = H_{\Gamma_D}^1(\Omega)$ ;  $(g, v)_{\Gamma_N} = \int_{\Gamma_N} g v \, ds$ ;  $f \in L^2(\Omega)$ ;  $g \in L^2(\Gamma_N)$ .

**R1: funzioni a quadrato sommabile.**

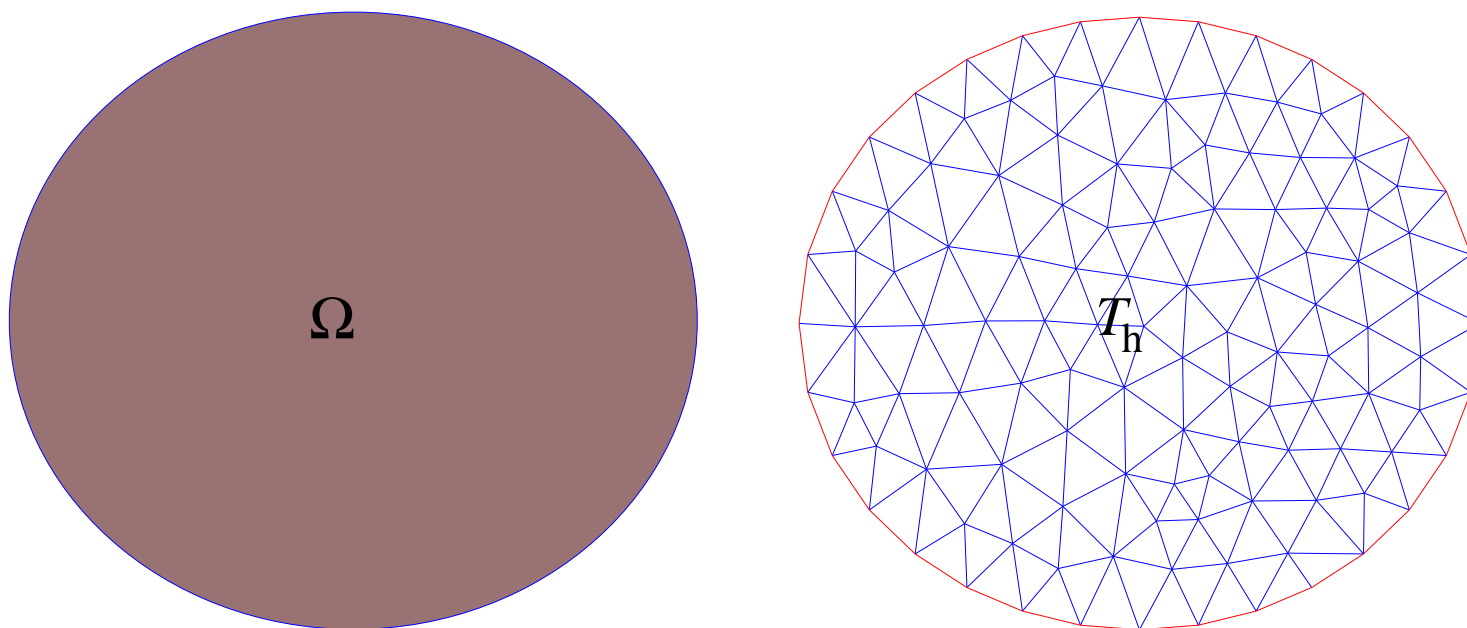
$$L^2(\Omega) = \left\{ f : \Omega \rightarrow \mathbb{R} \quad \text{t.c.} \quad \int_{\Omega} |f(\mathbf{x})|^2 \, d\mathbf{x} < \infty \right\}$$

$$H_{\Gamma_D}^1(\Omega) = \left\{ f \in L^2(\Omega) \quad \text{t.c.} \quad \partial_x f, \partial_y f \in L^2(\Omega), \quad f|_{\Gamma_D} = 0 \right\}.$$

La definizione si estende allo spazio  $H^s(\Omega)$ , con  $s \geq 1$ .

---

**Step 2. Discretizzazione** ad Elementi Finiti (**EF**): consideriamo una triangolazione  $\mathcal{T}_h$  del dominio  $\Omega$ :



Spazio degli elementi finiti (funzioni **lineari a tratti**):

$$V_h = \{v \in C^0(\overline{\Omega}) \text{ t.c. } v|_K \text{ è lineare, } \forall K \in \mathcal{T}_h, \text{ e } v|_{\Gamma_D} = 0\} \subset V.$$

$\implies$  trovare  $u_h \in V_h$ , tale che

$$a(u_h, v_h) = (f, v_h) + (g, v_h)_{\Gamma_N} \quad \forall v_h \in V_h. \quad \textbf{(FD2)}$$

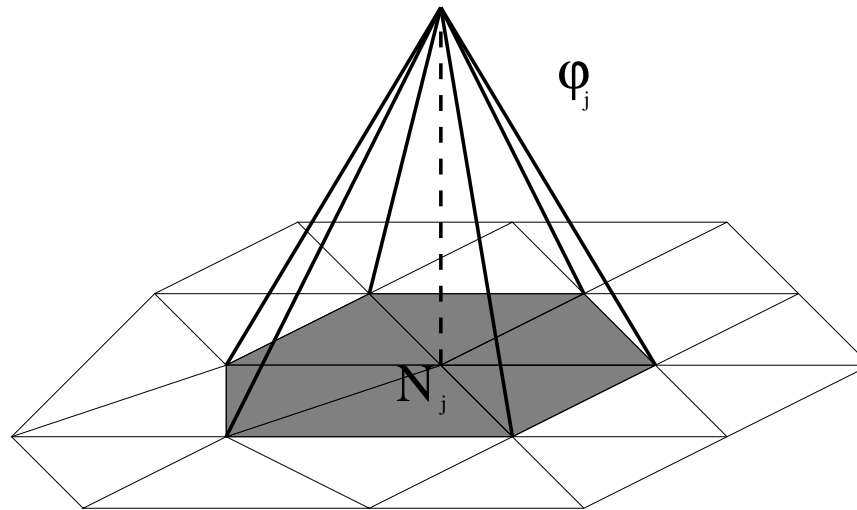
**Osservazione:** in alternativa alle funzioni lineari a tratti, potevano essere scelte funzioni di **grado qualsiasi**  $p$ .

**Step 3.** Definizione dell'**errore di discretizzazione**:  $e_h = u - u_h$ . Si può facilmente verificare che  $e_h$  soddisfa la seguente equazione

$$a(e_h, v_h) = \text{(FD)} - \text{(FD2)} = 0 \quad \forall v_h \in V_h, \quad \text{(OG)}$$

nota come **ortogonalità di Galerkin**.

**Step 4.** Definizione di una **base** (lagrangiana) di  $V_h$ :  $\{\varphi_j\}_{j=1}^{N_h}$ , con  $N_h$  numero dei nodi di  $\mathcal{T}_h$  non appartenenti a  $\Gamma_D$ .



**Step 3.** Definizione dell'**errore di discretizzazione**:  $e_h = u - u_h$ . Si può facilmente verificare che  $e_h$  soddisfa la seguente equazione

$$a(e_h, v_h) = (\text{FD}) - (\text{FD2}) = 0 \quad \forall v_h \in V_h, \quad (\text{OG})$$

nota come **ortogonalità di Galerkin**.

**Step 4.** Definizione di una **base** (lagrangiana) di  $V_h$ :  $\{\varphi_j\}_{j=1}^{N_h}$ , con  $N_h$  numero dei nodi di  $\mathcal{T}_h$  non appartenenti a  $\Gamma_D$ .

**Step 5.** Scelto  $v_h = \varphi_i$  in **(FD2)** ed espresso  $u_h$  in termini delle funzioni di base,

$$u_h(\mathbf{x}) = \sum_{j=1}^{N_h} u_j \varphi_j(\mathbf{x}),$$

ci si riconduce alla risoluzione del **sistema di equazioni lineari**

$$A\mathbf{u} = \mathbf{b}$$

$$\text{con } \{A\}_{ij} = a(\varphi_j, \varphi_i), \quad \{\mathbf{u}\}_j = u_j = u_h(\mathbf{x}_j), \quad \{\mathbf{b}\}_j = (f, \varphi_j) + (g, \varphi_j)_{\Gamma_N}.$$



## Adattività di Griglia $\Leftarrow$ Stimatore dell'Errore + Strategie di adattamento

### PASSO 1: stimatori dell'errore

Il punto di partenza delle procedure di adattività che considereremo è una stima dell'errore del tipo seguente

$$\|e_h\|_V \leq S = \left( \sum_{K \in \mathcal{T}_h} \eta_K^2 \right)^{1/2},$$

dove  $\|\cdot\|_V$  denota una norma opportuna definita su  $V$  (tipicamente sarà la norma di  $H^1(\Omega)$  o di  $L^2(\Omega)$ ),  $S$  è lo **stimatore (globale)** dell'errore di discretizzazione, mentre  $\eta_K$  ne rappresenta il corrispondente **stimatore locale**.

**R2: norma  $L^2$  ed  $H^1$ .**

$$\|v\|_{L^2(\Omega)} = \left( \int_{\Omega} |u(\mathbf{x})|^2 d\mathbf{x} \right)^{1/2}, \quad \forall v \in L^2(\Omega);$$

$$\|v\|_{H^1(\Omega)} = \left( \|u\|_{L^2(\Omega)}^2 + \|\nabla u\|_{L^2(\Omega)}^2 \right)^{1/2}, \quad \forall v \in H^1(\Omega),$$

con  $\nabla$  operatore gradiente.

## PASSO 1: stimatori dell'errore

Il punto di partenza delle procedure di adattività che considereremo è una stima dell'errore del tipo seguente

$$\|e_h\|_V \leq S = \left( \sum_{K \in \mathcal{T}_h} \eta_K^2 \right)^{1/2},$$

dove  $\|\cdot\|_V$  denota una norma opportuna definita su  $V$  (tipicamente sarà la norma di  $H^1(\Omega)$  o di  $L^2(\Omega)$ ),  $S$  è lo **stimatore (globale)** dell'errore di discretizzazione, mentre  $\eta_K$  ne rappresenta il corrispondente **stimatore locale**.

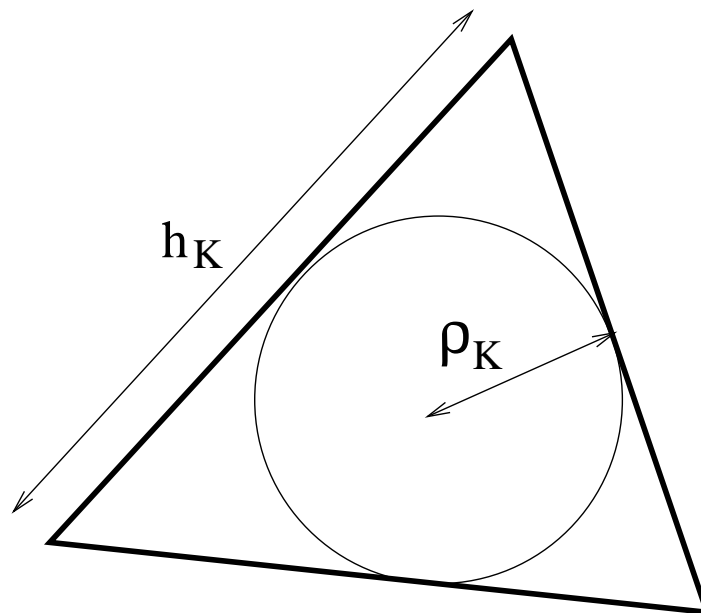
L'idea è di garantire che l'errore sia “vicino” a una certa tolleranza  $\tau$  prefissata:

$$\|e_h\|_V \sim \tau.$$

Gli stimatori  $\eta_K$  possono essere distinti in:

- ▶ stimatori **a priori**: lo stimatore locale è funzione della **soluzione esatta**  $u$  (tipicamente di una sua derivata) e del diametro  $h_K$  dell'elemento  $K$ :

$$\eta_K = \eta_K(u; h_K) = h_K^\alpha \|u\|_K^\beta$$



Gli stimatori  $S$  possono essere distinti in:

- ▶ stimatori **a priori**: lo stimatore locale è funzione della **soluzione esatta**  $u$  (tipicamente di una sua derivata) e del diametro  $h_K$  dell'elemento  $K$ :

$$\eta_K = \eta_K(u; h_K) = h_K^\alpha \|u\|_K^\beta$$

Il problema è che  $u$  è **incognita!!** Tali stime forniscono delle informazioni di tipo **qualitativo** sull'errore commesso (analisi **ordine di convergenza**).

- ▶ stimatori **a posteriori**: lo stimatore locale è funzione della **soluzione approssimata**  $u_h$  e del diametro  $h_K$  dell'elemento  $K$ :

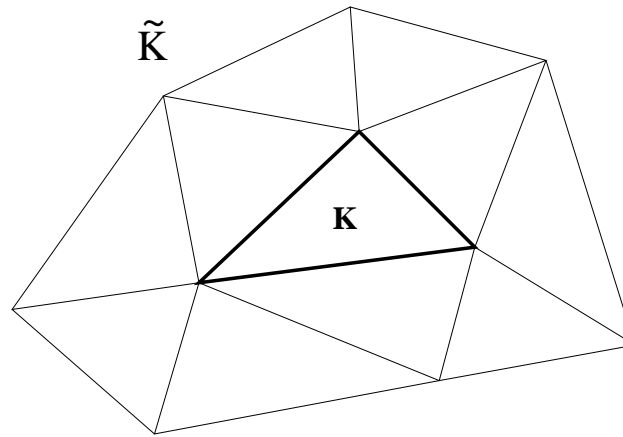
$$\eta_K = \eta_K(u_h; h_K) = h_K^\gamma \|\rho_h(u_h)\|_K^\delta$$

Tali stime forniscono delle informazioni di tipo **quantitativo** sull'errore commesso. Ho una quantità ora **calcolabile esplicitamente!!**

Miglioramento della qualità dello stimatore variando localmente  $h_K$  (griglie non-uniformi)  $\implies$  h-adattività.

# Proprietà di un stimatore dell'errore “credibile”

- **località** : calcolabile a partire da quantità dipendenti dal singolo elemento  $K$  o da un insieme ristretto  $\tilde{K}$  di elementi adiacenti a  $K$  :



patch di elementi



# Proprietà di un stimatore dell'errore “credibile”

- ▶ **località** : calcolabile a partire da quantità dipendenti dal singolo elemento  $K$  o da un insieme ristretto  $\tilde{K}$  di elementi adiacenti a  $K$  :
- ▶ **affidabilità** : esiste una costante  $C_1 \simeq 1$  tale che  $C_1 \|e_h\|_V \leq S$ .  
Questo garantisce che, se  $S \leq \tau$ , allora anche  $\|e_h\|_V \leq \tau$ .

**Osservazione:** se  $C_1$  fosse piccolo (ad esempio,  $C_1 = 10^{-2}$ ), anche se  $S \leq \tau$  (ad esempio,  $S \leq \tau = 10^{-4}$ ), avrei  $\|e_h\|_V \leq \frac{\tau}{C_1}$  (ovvero  $\|e_h\|_V \leq 10^{-2}$ )  $\implies$  **non affidabile!!!**

# Proprietà di un stimatore dell'errore “credibile”

- ▶ **località** : calcolabile a partire da quantità dipendenti dal singolo elemento  $K$  o da un insieme ristretto  $\tilde{K}$  di elementi adiacenti a  $K$  :
- ▶ **affidabilità** : esiste una costante  $C_1 \simeq 1$  tale che  $C_1 \|e_h\|_V \leq S$ .  
Questo garantisce che, se  $S \leq \tau$ , allora anche  $\|e_h\|_V \leq \tau$ .
- ▶ **efficienza** : esiste una costante  $C_2 \simeq 1$  tale che  $S \leq C_2 \|e_h\|_V$ .  
Questo garantisce che, se  $S \simeq \tau$ , allora anche  $\|e_h\|_V \simeq \tau$ .

**Osservazione:** se  $C_2$  fosse grande (ad esempio,  $C_2 = 100$ ), anche se  $S \simeq \tau$  (ad esempio,  $S \simeq \tau = 10^{-4}$ ), avrei  $\|e_h\|_V \geq \frac{\tau}{C_2}$  (ovvero  $\|e_h\|_V \geq 10^{-6}$ ), ovvero potrei trovare un errore in realtà ben più piccolo di quanto desiderato  $\implies$  **non efficiente!!!**

## Proprietà di un stimatore dell'errore “credibile”

- ▶ **località** : calcolabile a partire da quantità dipendenti dal singolo elemento  $K$  o da un insieme ristretto  $\tilde{K}$  di elementi adiacenti a  $K$  :
- ▶ **affidabilità** : esiste una costante  $C_1 \simeq 1$  tale che  $C_1 \|e_h\|_V \leq S$ .  
Questo garantisce che, se  $S \leq \tau$ , allora anche  $\|e_h\|_V \leq \tau$ .
- ▶ **efficienza** : esiste una costante  $C_2 \simeq 1$  tale che  $S \leq C_2 \|e_h\|_V$ .  
Questo garantisce che, se  $S \simeq \tau$ , allora anche  $\|e_h\|_V \simeq \tau$ .

In genere solo alcune di queste proprietà sono dimostrabili rigorosamente.

**Osservazione 1:** uno stimatore  $S$  si dice “robusto” se risulta essere al tempo stesso affidabile ed efficiente, ovvero se soddisfa la seguente relazione

$$C_1 \|e_h\|_V \leq S \leq C_2 \|e_h\|_V,$$

con  $C_1, C_2 \simeq 1$ .

**Osservazione 2:** le proprietà di affidabilità ed efficienza devono valere anche per lo stimatore locale  $\eta_K$

$$C_3 \|e_h\|_{V(\tilde{K})} \leq \eta_K \leq C_4 \|e_h\|_{V(\tilde{K})} \quad \text{con} \quad C_3, C_4 \simeq 1,$$

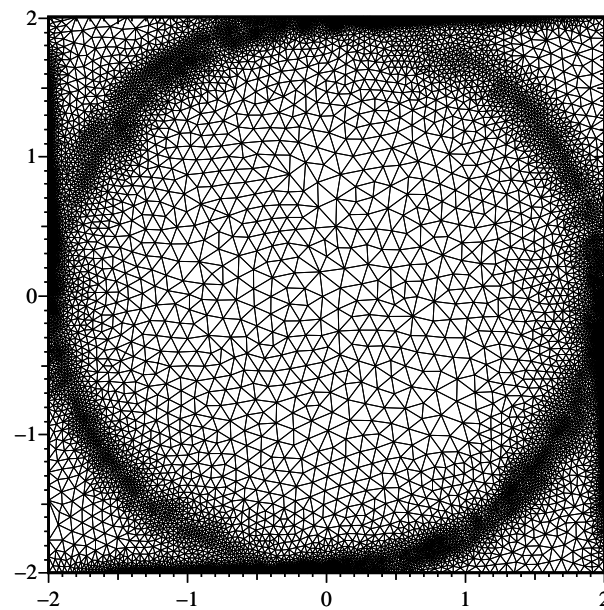
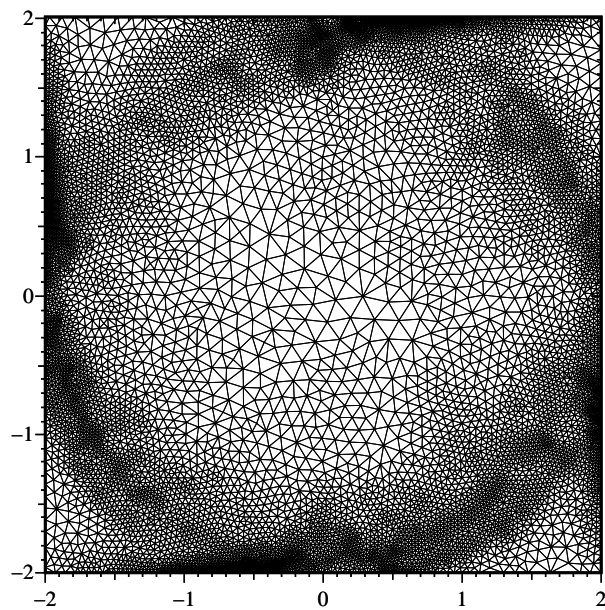
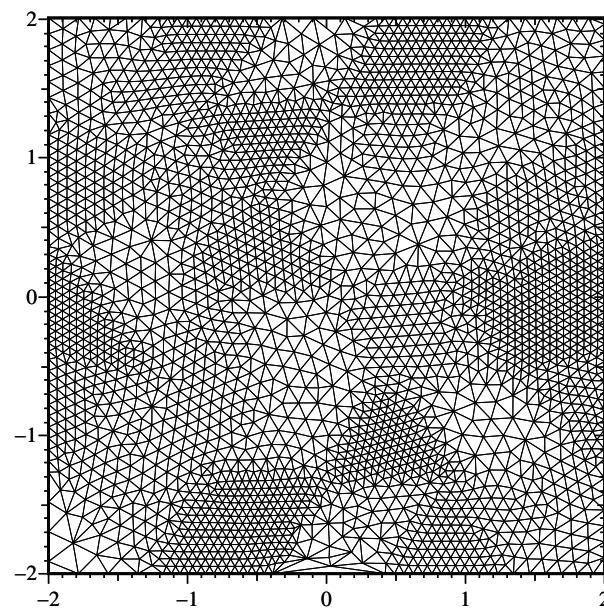
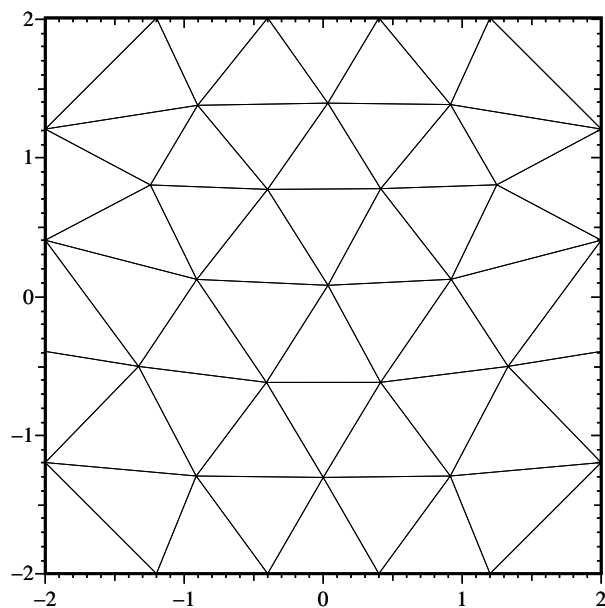
per la natura locale dello stimatore e in vista di un’adattività di griglia.

**Osservazione 3:** la quantità usata solitamente per misurare la “credibilità” di uno stimatore si chiama **effectivity index**:

$$I_{\text{eff}} = \frac{S}{\|e_h\|_V}.$$

Fornisce una misura della sovra(sotto)-stima di  $S$  rispetto al valore esatto  $\|e_h\|_V$ . Idealmente, si vorrebbe che  $I_{\text{eff}} \simeq 1$  ( $\iff S$  affidabile ed efficiente).

## PASSO 2: strategie d'adattamento

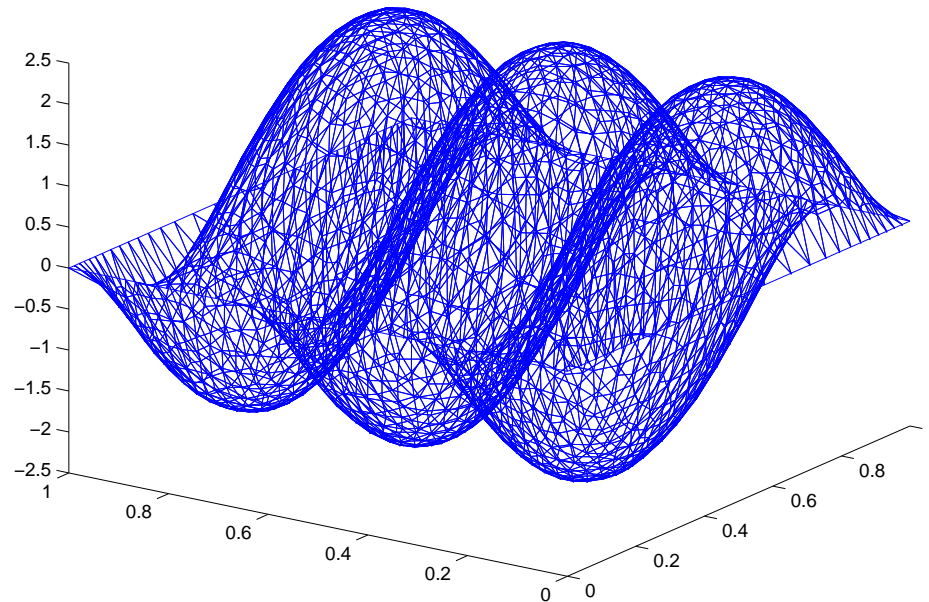




## PASSO 2: strategie d'adattamento

Avendo a disposizione una stima **a priori** o **a posteriori** dell'errore, si possono seguire diverse strategie per generare una griglia adattata:

- **economicità della griglia** : **fissato** un **numero**  $N$  di **elementi**, genero la griglia che minimizza l'errore (o, più precisamente, la sua stima  $S$ );

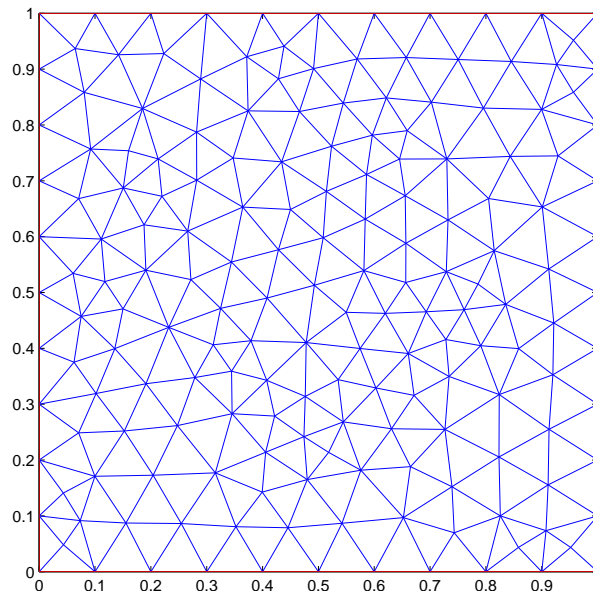


## PASSO 2: strategie d'adattamento

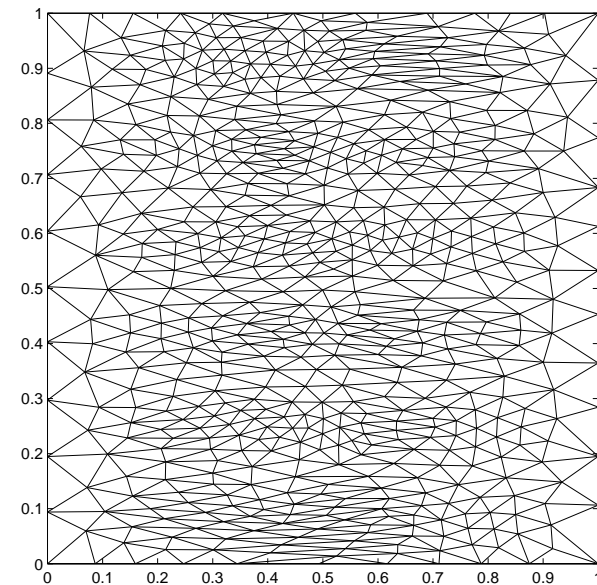
Avendo a disposizione una stima **a priori** o **a posteriori** dell'errore, si possono seguire diverse strategie per generare una griglia adattata:

- **economicità della griglia** : fissato un numero  $N$  di **elementi**, genero la griglia che minimizza l'errore (o, più precisamente, la sua stima  $S$ );

circa 300 elementi



errore=5.329e-01

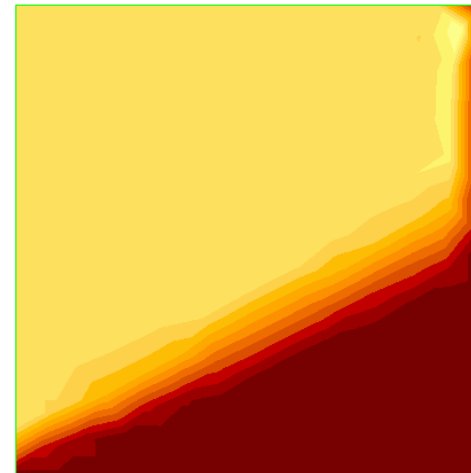
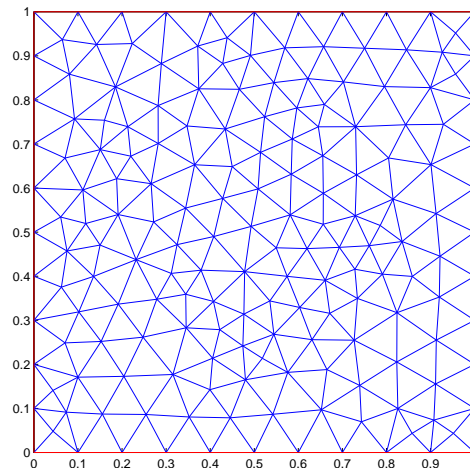


errore=2.556e-01

## PASSO 2: strategie d'adattamento

Avendo a disposizione una stima **a priori** o **a posteriori** dell'errore, si possono seguire diverse strategie per generare una griglia adattata:

- **economicità della griglia** : **fissato** un **numero**  $N$  di **elementi**, genero la griglia che minimizza l'errore (o, più precisamente, la sua stima  $S$ );
- **controllo dell'errore** : **fissata** una **tolleranza**  $\tau$  sull'errore di discretizzazione, genero la griglia con il minimo numero di elementi e per cui si abbia  $S \simeq \tau$ ;



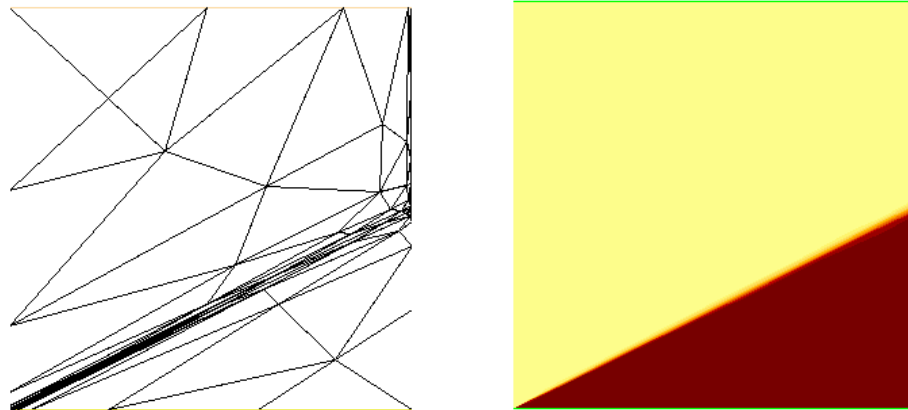
312 elementi

## PASSO 2: strategie d'adattamento

Avendo a disposizione una stima **a priori** o **a posteriori** dell'errore, si possono seguire diverse strategie per generare una griglia adattata:

- ▶ **economicità della griglia** : **fissato** un **numero**  $N$  di **elementi**, genero la griglia che minimizza l'errore (o, più precisamente, la sua stima  $S$ );
- ▶ **controllo dell'errore** : **fissata** una **tolleranza**  $\tau$  sull'errore di discretizzazione, genero la griglia con il minimo numero di elementi e per cui si abbia  $S \simeq \tau$ ;

$$\tau = 10^{-1}$$



64 elementi

## PASSO 2: strategie d'adattamento

Avendo a disposizione una stima **a priori** o **a posteriori** dell'errore, si possono seguire diverse strategie per generare una griglia adattata:

- ▶ **economicità della griglia** : fissato un numero  $N$  di elementi, genero la griglia che minimizza l'errore (o, più precisamente, la sua stima  $S$ );
- ▶ **controllo dell'errore** : fissata una tolleranza  $\tau$  sull'errore di discretizzazione, genero la griglia con il minimo numero di elementi e per cui si abbia  $S \simeq \tau$ ;
- ☞ **equidistribuzione dell'errore** : fissato un numero  $N$  di elementi (o, **alternativamente**, una tolleranza  $\tau$  sull'errore di discretizzazione), genero una griglia tale per cui  $\eta_K = \frac{\tau}{\sqrt{N}} = \text{costante}$ .

Tali **strategie non** sono in generale **equivalenti**.



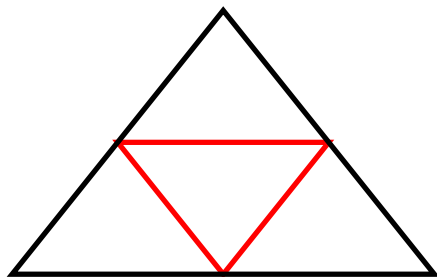
# Tecniche di adattività

Dato uno stimatore locale  $\eta_K$  si può adottare una delle seguenti tecniche:

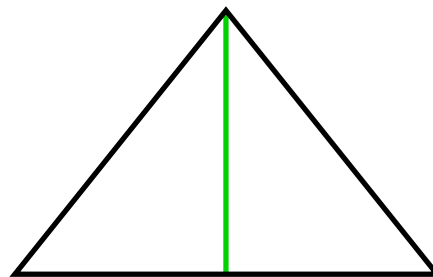
- **Raffinamento** : si stima l'errore su una **griglia di tentativo** e si suddividono gli elementi per i quali  $\eta_K$  risulta superiore rispetto ad una certa soglia prefissata. Si raffinano, ad esempio, gli elementi  **$K$  per i quali** si ha

$$\eta_K \geq \frac{C \tau}{\sqrt{N_h}},$$

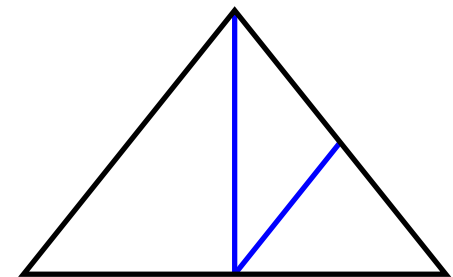
con  $\tau$  tolleranza totale.



red-refinement



green-refinement



blue-refinement

## Tecniche di adattività

Dato uno stimatore locale  $\eta_K$  si può adottare una delle seguenti tecniche:

- **Raffinamento** : si stima l'errore su una **griglia di tentativo** e si suddividono gli elementi per i quali  $\eta_K$  risulta superiore rispetto ad una certa soglia prefissata. Si raffinano, ad esempio, gli elementi  **$K$  per i quali** si ha

$$\eta_K \geq \frac{C \tau}{\sqrt{N_h}},$$

con  $\tau$  tolleranza totale.

- **Deraffinamento** : viene eliminato un nodo di griglia qualora  $\eta_K$  sia inferiore ad una soglia prefissata in tutti gli elementi  $K$  a cui tale nodo appartiene. Il test da verificare può essere, per esempio,

$$\eta_K < \frac{C \tau}{\sqrt{N_h}},$$

con  $\tau$  tolleranza totale.

- Queste due tecniche soddisfano il **criterio di equidistribuzione dell'errore**: cercano di ottenere cioè una griglia su cui  $\eta_K$  sia **costante su** ogni elemento  **$K$** .

Le **librerie di adattività** correntemente implementate nei codici ad elementi finiti utilizzano algoritmi di tipo differente per adattare una griglia:

**remeshing** : data la spaziatura (**metrica**) ottimale, la **griglia** è **rigenerata ex-novo**.

**Vantaggi**: **semplice implementazione** se si ha un generatore di griglia che permetta di controllare in modo fine la spaziatura. Oggigiorno esistono algoritmi di generazione molto rapidi.

**Svantaggi**: occorre “**estrarre**” da  $\eta_K$  la **densità ottimale**. In 3D e per geometrie complesse questo passo può essere molto oneroso.

**raffinamento** : la griglia viene **raffinata ad ogni passo** di adattività.

**Vantaggi**: esistono algoritmi di raffinamento che garantiscono la **regolarità** della **griglia adattata**. Non richiede di “estrarre” dalla stima una densità ottimale.

**Svantaggi**: i **gradi di libertà** possono **solo aumentare!!!!**

**modifica locale** : la griglia viene modificata attraverso delle **operazioni locali**: movimento, aggiunta od eliminazione di nodi, scambio delle diagonali (2D), scambio facce-lati (3D),etc.

**Vantaggi**: permette un **controllo fine** della **qualità** della **griglia**.

**Svantaggi**: **implementazione complessa**.

## Dietro le quinte ... stimatori dell'errore

### Adattività basata sul controllo dell'errore d'interpolazione

Partiamo da un problema semplice: data una funzione  $u : \Omega \rightarrow \mathbb{R}$ , sufficientemente regolare, ed una griglia  $\mathcal{T}_h$  su  $\Omega$ , ci proponiamo di utilizzare l'adattività di griglia al fine di **controllare l'errore tra  $u$  e il suo interpolante lineare a tratti  $\Pi_h(u) \in V_h$ .**

**R3: operatore d'interpolazione di Lagrange:**  $\Pi_h : C^0(\overline{\Omega}) \longrightarrow V_h$ , t.c.

$$\Pi_h(u)(\mathbf{x}_j) = u(\mathbf{x}_j), \quad \forall j = 1, \dots, N_h.$$

**N.B.**  $u$  deve **necessariamente** essere una funzione **continua**.

Si può dimostrare che valgono le seguenti **stime locali (d'interpolazione)**:

$$\|u - \Pi_h(u)\|_{L^2(K)} \leq c_1^* h_K^2 |u|_{H^2(K)},$$

$$\|u - \Pi_h(u)\|_{H^1(K)} \leq c_3^* h_K |u|_{H^2(K)}.$$

Saranno queste che interverranno, eventualmente, nella derivazione di uno stimatore data la proprietà di **località** dello stimatore.

# Dietro le quinte ... stimatori dell'errore

## Adattività basata sul controllo dell'errore d'interpolazione

Partiamo da un problema semplice: data una funzione  $u : \Omega \rightarrow \mathbb{R}$ , sufficientemente regolare, ed una griglia  $\mathcal{T}_h$  su  $\Omega$ , ci proponiamo di utilizzare l'adattività di griglia al fine di **controllare l'errore tra  $u$  e** il suo interpolante lineare a tratti  $\Pi_h(u) \in V_h$ .

**Caso monodimensionale.** Sia  $u \in H^2(\Omega) \subset C^0(\overline{\Omega})$  una funzione **assegnata**, con  $\Omega = (0, L)$ . Indicata con  $\mathcal{T}_h = \{x_i\}_{i=0}^{N_h}$  una partizione dell'intervallo  $\Omega$ , sia  $\Pi_h(u)$  l'interpolata lineare a tratti di  $u$  e  $u - \Pi_h(u)$  il corrispondente **errore d'interpolazione**.

Per la **norma  $L^2(\Omega)$**  di tale errore vale la seguente **stima**:

$$\|u - \Pi_h(u)\|_{L^2(\Omega)}^2 \leq C \sum_{k=0}^{N_h-1} h_k^4 \underbrace{\int_{x_k}^{x_{k+1}} \left| \frac{d^2 u}{dx^2} \right|^2 dx}_{|u|_{H^2(K)}^2}, \quad (1)$$

con  $C = 1/64$  ed  $h_k = (x_{k+1} - x_k)$  ampiezza del  $(k+1)$ -esimo intervallo.

Notiamo che tale stima è nella forma cercata, con  $\eta_K = \eta_K^{\Pi_h} = h_K^2 |u|_{H^2(K)}$  e  $K = [x_k, x_{k+1}]$ .

---

Ricordiamo ora le definizioni di **spaziatura**  $\mathcal{H}_{\mathcal{T}_h}$  e **densità di griglia**  $\mathcal{D}_{\mathcal{T}_h}$ :

$$\mathcal{H}_{\mathcal{T}_h}(x) = \begin{cases} h_k, & x_k \leq x < x_{k+1}, \quad k = 0, \dots, N_h - 1, \\ h_{N_h-1}, & x = L, \end{cases} \quad \mathcal{D}_{\mathcal{T}_h}(x) = \frac{1}{\mathcal{H}_{\mathcal{T}_h}(x)}$$

Possiamo così riscrivere la disuguaglianza (1) nella forma equivalente:

$$\|u - \Pi_h(u)\|_{L^2(\Omega)}^2 \leq C \int_0^L [\mathcal{H}_{\mathcal{T}_h}(x)]^4 \left| \frac{d^2 u}{dx^2} \right|^2 d\Omega = C \int_0^L [\mathcal{D}_{\mathcal{T}_h}(x)]^{-4} \left| \frac{d^2 u}{dx^2} \right|^2 d\Omega.$$

**Obiettivo** : fissato un numero  $N$  di elementi di griglia, vogliamo **trovare** la densità di griglia  $\mathcal{D} (\neq \mathcal{D}_{\mathcal{T}_h})$  che **minimizza** la stima dell'errore d'interpolazione

$$\|u - \Pi_h u\|_{L^2(\Omega)}^2 \leq C \int_0^L [\mathcal{D}(x)]^{-4} \left| \frac{d^2 u}{dx^2} \right|^2 d\Omega,$$

con  $\left[ \int_0^L \mathcal{D}(x) d\Omega \right] = N$ . Si tratta di un **problema di minimizzazione vincolata**.



Applicando tecniche elementari di **calcolo variazionale**, il problema diventa: cercare  $\mathcal{D}$  tale che

$$\int_0^L [\mathcal{D}(x)]^{-5} \left| \frac{d^2 u}{dx^2}(x) \right|^2 \delta \mathcal{D}(x) d\Omega = 0,$$

per ogni variazione di densità di griglia  $\delta \mathcal{D}$ , tale che  $\int_{\Omega} \delta \mathcal{D}(x) d\Omega = 0$ .

La soluzione di tale problema fornisce la **densità di griglia ottimale rispetto alla norma  $L^2(\Omega)$** :

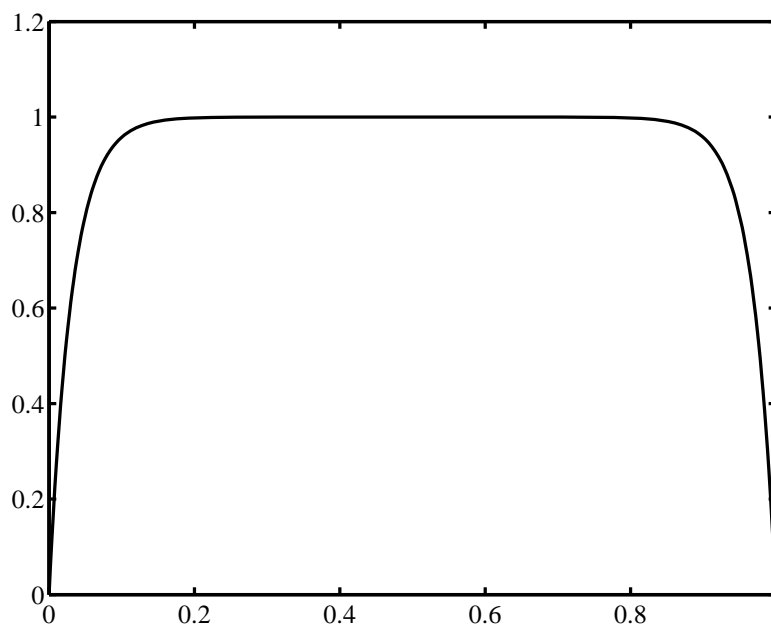
$$\mathcal{D}(x) = \kappa \left| \frac{d^2 u}{dx^2}(x) \right|^{\frac{2}{5}}, \quad \text{con} \quad \kappa = \frac{N}{\int_0^L \left| \frac{d^2 u}{dx^2}(x) \right|^{\frac{2}{5}} d\Omega}.$$

Un'**analisi analoga** si può ripetere facendo riferimento alla **norma  $H^1(\Omega)$**  dell'errore d'interpolazione.

# Esempio di adattività 1D

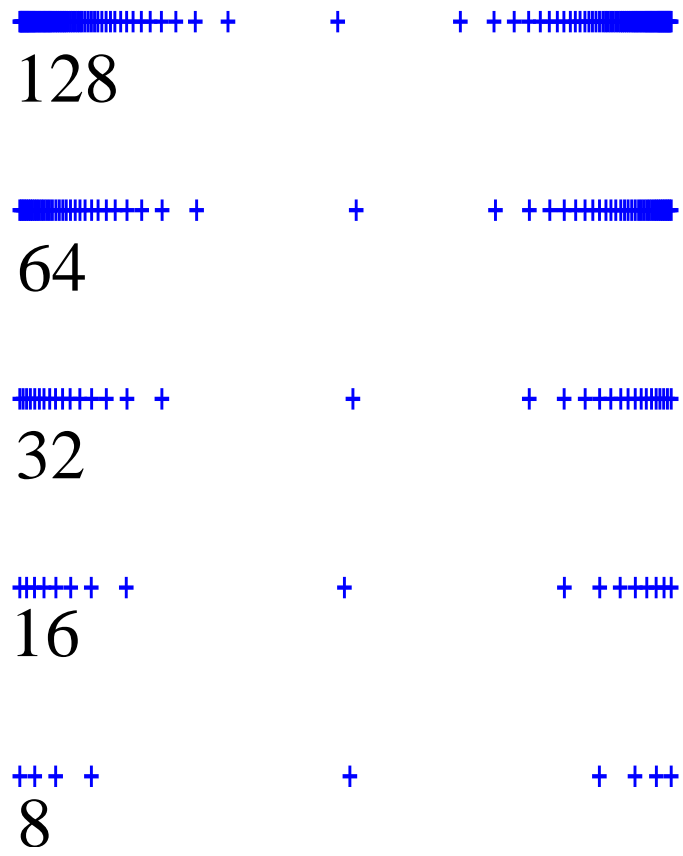
Consideriamo la funzione

$$u(x) = 1 - \cosh(\beta x) + \frac{\cosh(\beta) - 1}{\sinh(\beta)} \sinh(\beta x), \quad \text{con } \beta = \sqrt{10^3} \text{ e } x \in (0, 1).$$



Tale funzione presenta uno **strato limite** in corrispondenza di  $x = 0$  e di  $x = 1$ . È evidente che per avere un'interpolazione accurata è opportuno **addensare i nodi agli estremi dell'intervallo**  $(0, 1)$ .

Seguendo la procedura precedentemente illustrata si ottengono le seguenti griglie ottimali rispetto alla **norma  $L^2(0, 1)$** , fissato un numero  $N_h$  di intervalli pari a 8 16, 32, 64 e 128.

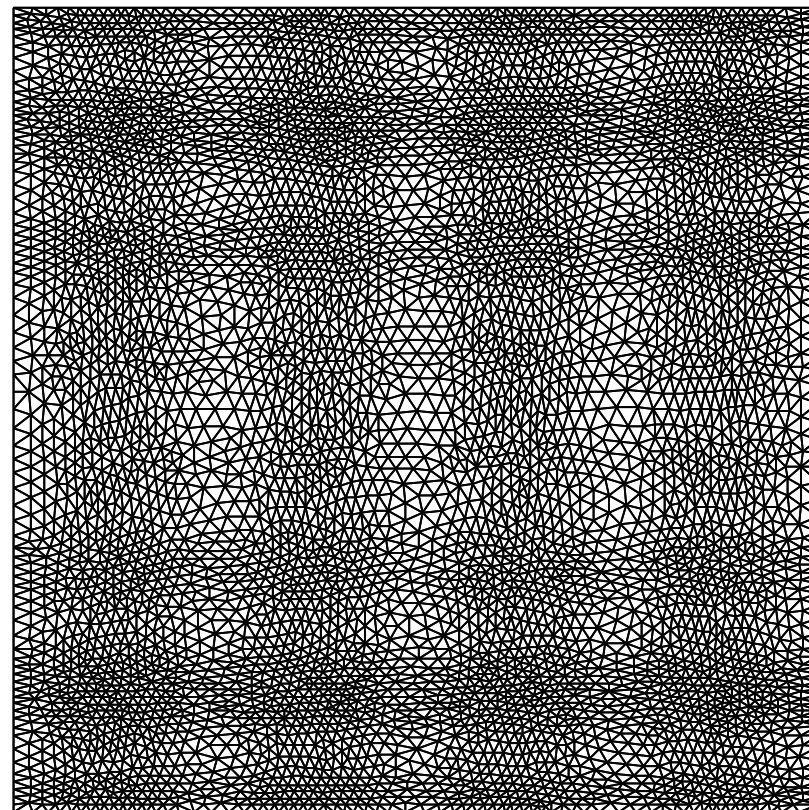
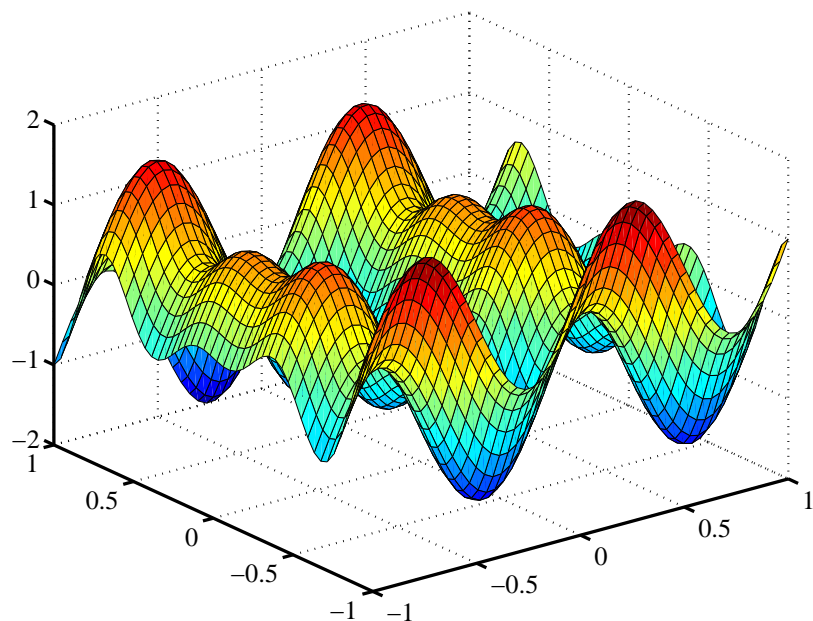


$N_h$	griglia ottimale rispetto alla norma $L^2(0, 1)$	griglia ottimale rispetto alla norma $H^1(0, 1)$	griglia uniforme
8	0.0178	0.0302	0.144
128	$2.16 \times 10^{-4}$	$7.73 \times 10^{-2}$	$1.1 \times 10^{-3}$

## Estensione a più dimensioni

La tecnica di adattività di griglia precedente può essere estesa al caso multidimensionale con le dovute complicazioni computazionali (**concetto di metrica**). In tal caso si controlla il diametro  $h_K$  degli elementi.

Consideriamo la funzione  $u(x, y) = \sin(2\pi x) + y \cos(3\pi y)$  su  $\Omega = (-1, 1)^2$ . La **griglia ottimale** derivante dal controllo dell'**errore d'interpolazione** rispetto alla norma  $L^2(\Omega)$  risulta essere:



## Adattività basata su stimatori a priori dell'errore

Le metodologie di adattività per il controllo dell'errore d'interpolazione possono essere estese al caso in cui si voglia controllare direttamente l'**errore di discretizzazione**. Per ogni  $u \in H^2(\Omega)$ , si dimostra infatti che vale la seguente stima per  $e_h$ :

$$\|e_h\|_{H^1(\Omega)}^2 \leq C \sum_{k=0}^{N_h-1} h_k^2 \int_{x_k}^{x_{k+1}} \left| \frac{d^2 u}{dx^2} \right|^2 dx.$$

**Osservazione:** a differenza di prima  $u$  è ora **incognita**. La **sua derivata** dovrà essere **approssimata** opportunamente a partire, ad esempio, da  $u_h$ .

Si può, ad esempio:

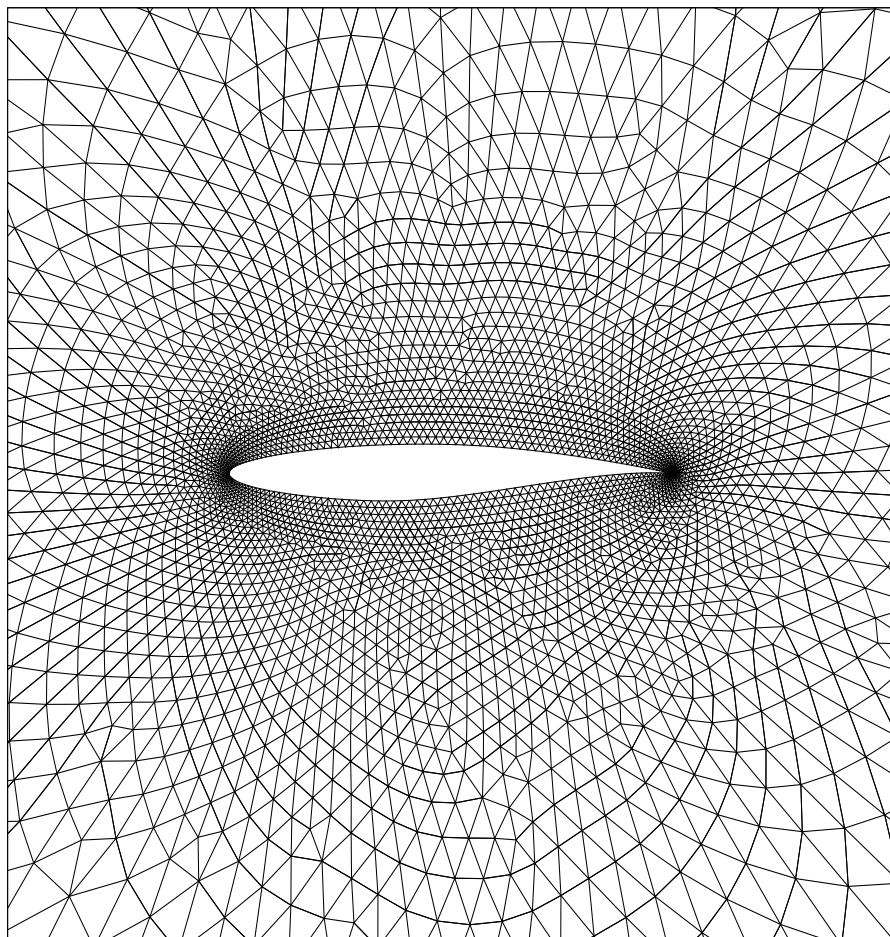
- ▶ calcolare una soluzione approssimata su una **griglia sufficientemente fine**, usando tale approssimazione per stimare la derivata seconda di  $u$ .
- ▶ ricorrere ad un'opportuna **ricostruzione della derivata seconda** di  $u$  (*vedi Lezione sugli stimatori recovery-based*).

Queste procedure introducono inevitabilmente delle ulteriori **approssimazioni difficilmente controllabili**. Nonostante ciò, le tecniche adattative basate sulle stime a priori sono spesso utilizzate nella **pratica ingegneristica** perchè di **semplice implementazione**, anche in presenza di problemi complessi.

## *Mesh Adaption*

Mesh1 RAE 2822

Box from ( -0.50, -1.00) to ( 1.50, 1.00)

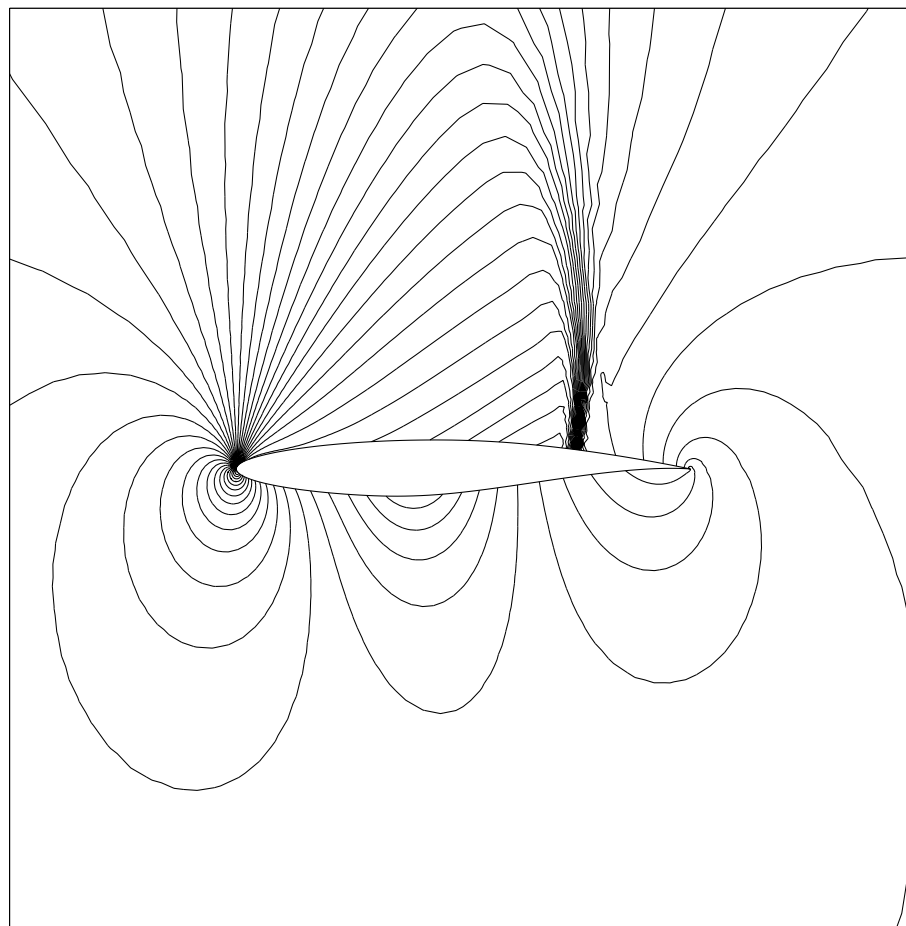


Computational Grid

Mesh1

Box from ( -0.50, -1.00) to ( 1.50, 1.00)

Pressure From 0.400 To 1.500 In 40 steps.

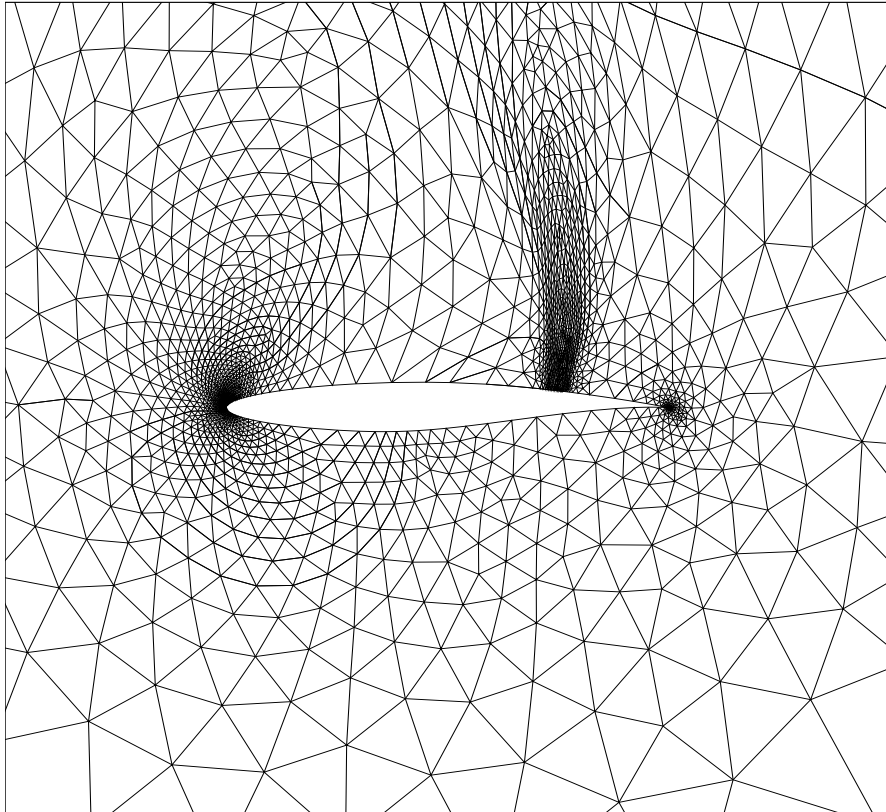


**Mesh and solution (pressure distribution) used for sensor test.**



## *Spacing Control on Boundary*

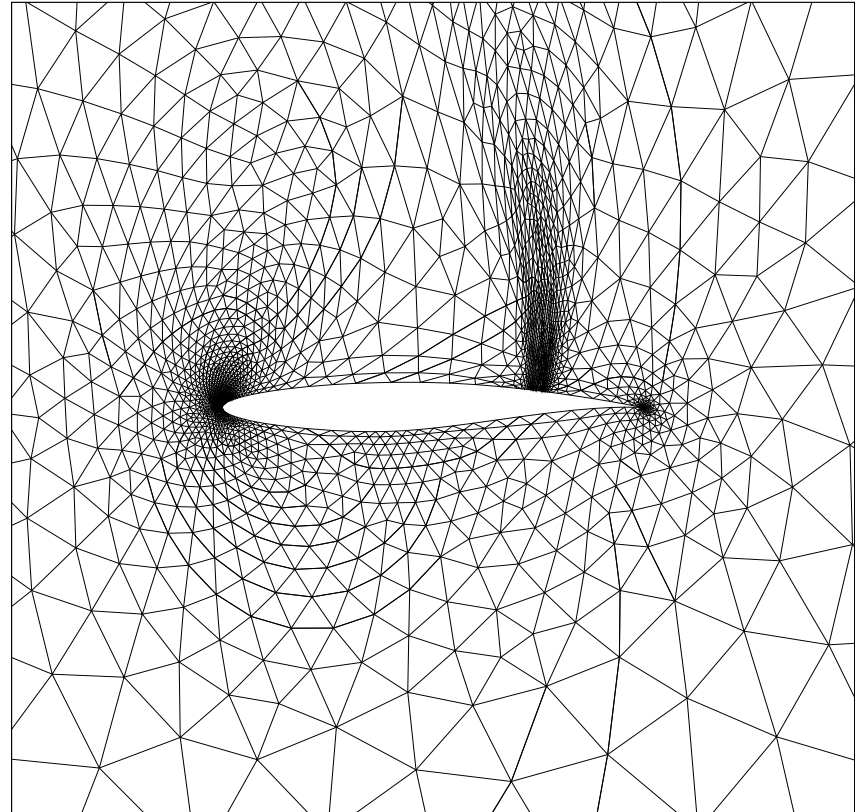
Box from ( -0.50, -1.00) to ( 1.50, 1.00)



Computational Grid

**Mesh Adapted Using Pressure**

Box from ( -0.50, -1.00) to ( 1.50, 1.00)



Computational Grid

**Adapted mesh: Pressure + B.C.**

## Adattività basata su stimatori a posteriori dell'errore: stimatori residuali

Per semplicità associamo al problema modello **(PM)** condizioni al bordo di Dirichlet omogenee ( $\Gamma_N = \emptyset$ ):

$$\begin{cases} -\Delta u = f & \text{in } \Omega \subset \mathbb{R}^2 \\ u = 0 & \text{su } \partial\Omega \end{cases} \quad \textbf{(PM)}$$

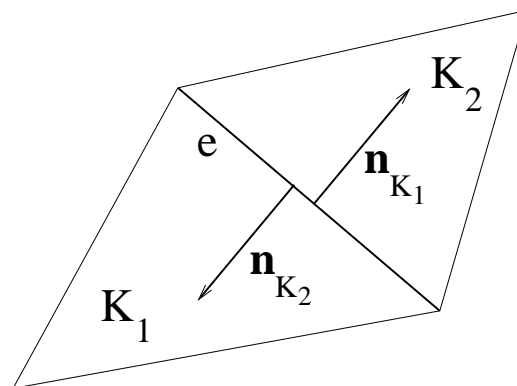
**Derivazione** di uno stimatore a posteriori, **di tipo residuale**, rispetto alla **norma**  $H^1(\Omega)$ :

$$\begin{aligned} a(e_h, v) &\stackrel{\textbf{(OG)}}{=} a(e_h, v - v_h) \stackrel{\textbf{(FD)}}{=} (f, v - v_h) - a(u_h, v - v_h) \\ &\stackrel{\textbf{(IPP)}}{=} \sum_{K \in \mathcal{T}_h} \{ (f + \Delta u_h, v - v_h)_K - (\partial_n u_h, v - v_h)_{\partial K} \}. \end{aligned}$$

Definiamo:

- il **residuo interno** associato all'elemento  $K$  :  $r_K = (f + \Delta u_h)|_K$ . Misura quanto bene (male) la soluzione discreta  $u_h$  soddisfa **(PM)**;

- il **salto della derivata normale** di  $u_h$  attraverso il generico lato  $e$  della triangolazione  $\mathcal{T}_h$ :  $[\partial_n u_h]_e = \nabla u_h \cdot \mathbf{n}_{K_1} + \nabla u_h \cdot \mathbf{n}_{K_2}$



adottando inoltre la convenzione secondo cui  $[\partial_n u_h]_e = 0$  se  $e$  è un lato di bordo e  $[\partial_n u]_{\partial K} = \sum_{e \in \partial K} [\partial_n u_h]_e$ .

**Osservazione:** la soluzione  $u$  ha salto nullo.

- **residuo di bordo:**

$$R_K = \begin{cases} 0.5 [\partial_n u_h]_e & \text{se } e \in \partial K \setminus \partial \Omega \\ 0 & \text{se } e \in \partial \Omega, \end{cases}$$

dove il fattore 0.5 tiene conto del fatto che ogni lato è condiviso da 2 triangoli.

Abbiamo dunque

$$\begin{aligned} |a(e_h, v)| &= \left| \sum_{K \in \mathcal{T}_h} \{ (\mathbf{r}_K, v - v_h)_K - (R_K, v - v_h)_{\partial K} \} \right| \\ &\leq \end{aligned}$$

**R4: disuguaglianza di Cauchy-Schwarz:**  $\forall f, g \in L^2(\Omega)$

$$\left| \int_{\Omega} f g \, d\mathbf{x} \right| \leq \|f\|_{L^2(\Omega)} \|g\|_{L^2(\Omega)}$$

Abbiamo dunque

$$\begin{aligned}
 |a(e_h, v)| &= \left| \sum_{K \in \mathcal{T}_h} \{ (r_K, v - v_h)_K - (R_K, v - v_h)_{\partial K} \} \right| \\
 \text{(CS)} \quad &\leq \sum_{K \in \mathcal{T}_h} \{ \|r_K\|_K \|v - v_h\|_K + \|R_K\|_{\partial K} \|v - v_h\|_{\partial K} \}
 \end{aligned}$$

**R5: operatore d'interpolazione di Clément:**  $I_h : H^1(\Omega) \longrightarrow V_h$ , t.c.

$$I_h(u)(\mathbf{x}) = \sum_{j=1}^{N_h} (P_j u)(\mathbf{x}_j) \varphi_j, \quad \forall u \in H^1(\Omega),$$

con  $P_j$  **operatore di proiezione locale**  $L^2$  su un opportuno patch di elementi associato al nodo  $\mathbf{x}_j$ .

**N.B.**  $u$  deve **non necessariamente** essere una funzione **continua**.

Valgono le seguenti **stime locali (d'interpolazione)**:  $\forall u \in H^1(\Omega)$ ,

$$\|u - I_h(u)\|_K \leq c_1 h_K |u|_{H^1(\tilde{K})}, \quad \|u - I_h(u)\|_{\partial K} \leq c_2 h_K^{1/2} \|u\|_{H^1(\tilde{K})}$$

con  $\tilde{K}$  patch di elementi associato a  $K$  e  $|u|_{H^1(\tilde{K})} = \|\nabla u\|_{L^2(\tilde{K})}$ .

Abbiamo dunque

$$\begin{aligned}
 |a(e_h, v)| &= \left| \sum_{K \in \mathcal{T}_h} \{ (\mathbf{r}_K, v - v_h)_K - (R_K, v - v_h)_{\partial K} \} \right| \\
 \text{(CS)} \quad &\leq \sum_{K \in \mathcal{T}_h} \{ \|r_K\|_K \|v - v_h\|_K + \|R_K\|_{\partial K} \|v - v_h\|_{\partial K} \} \\
 v_h = I_h(v) \quad &\leq C \sum_{K \in \mathcal{T}_h} \{ \|r_K\|_K h_K |v|_{H^1(\tilde{K})} + \|R_K\|_{\partial K} h_K^{1/2} \|v\|_{H^1(\tilde{K})} \} \\
 &\leq C \sum_{K \in \mathcal{T}_h} \{ \|r_K\|_K h_K + \|R_K\|_{\partial K} h_K^{1/2} \} \|v\|_{H^1(\tilde{K})}
 \end{aligned}$$

Scelto infine  $v = e_h$ ,

$$\|e_h\|_{H^1(\Omega)}^2 \simeq |a(e_h, e_h)| \leq C \sum_{K \in \mathcal{T}_h} \{ \|r_K\|_K h_K + \|R_K\|_{\partial K} h_K^{1/2} \} \|e_h\|_{H^1(\tilde{K})}$$



Abbiamo dunque

$$\begin{aligned}
 |a(e_h, v)| &= \left| \sum_{K \in \mathcal{T}_h} \{ (r_K, v - v_h)_K - (R_K, v - v_h)_{\partial K} \} \right| \\
 \text{(CS)} \quad &\leq \sum_{K \in \mathcal{T}_h} \{ \|r_K\|_K \|v - v_h\|_K + \|R_K\|_{\partial K} \|v - v_h\|_{\partial K} \} \\
 v_h = I_h(v) \quad &\leq C \sum_{K \in \mathcal{T}_h} \{ \|r_K\|_K h_K |v|_{H^1(\tilde{K})} + \|R_K\|_{\partial K} h_K^{1/2} \|v\|_{H^1(\tilde{K})} \} \\
 &\leq C \sum_{K \in \mathcal{T}_h} \{ \|r_K\|_K h_K + \|R_K\|_{\partial K} h_K^{1/2} \} \|v\|_{H^1(\tilde{K})}
 \end{aligned}$$

Scelto infine  $v = e_h$ ,

$$\|e_h\|_{H^1(\Omega)}^2 \simeq |a(e_h, e_h)| \leq C \sum_{K \in \mathcal{T}_h} \{ \|r_K\|_K h_K + \|R_K\|_{\partial K} h_K^{1/2} \} \|e_h\|_{H^1(\tilde{K})}$$

**R6: disuguaglianza di Cauchy-Schwarz discreta:** dati  $a_j, b_j \in \mathbb{R}$ ,

$$\sum_j a_j b_j \leq \left( \sum_j a_j^2 \right)^{1/2} \left( \sum_j b_j^2 \right)^{1/2}$$

Abbiamo dunque

$$\begin{aligned}
 |a(e_h, v)| &= \left| \sum_{K \in \mathcal{T}_h} \{ (\mathbf{r}_K, v - v_h)_K - (\mathbf{R}_K, v - v_h)_{\partial K} \} \right| \\
 \text{(CS)} \quad &\leq \sum_{K \in \mathcal{T}_h} \{ \|r_K\|_K \|v - v_h\|_K + \|R_K\|_{\partial K} \|v - v_h\|_{\partial K} \} \\
 \mathbf{v}_h = \mathbf{I}_h(\mathbf{v}) \quad &\leq C \sum_{K \in \mathcal{T}_h} \{ \|r_K\|_K h_K |\mathbf{v}|_{H^1(\tilde{K})} + \|R_K\|_{\partial K} h_K^{1/2} \|\mathbf{v}\|_{H^1(\tilde{K})} \} \\
 &\leq C \sum_{K \in \mathcal{T}_h} \{ \|r_K\|_K h_K + \|R_K\|_{\partial K} h_K^{1/2} \} \|\mathbf{v}\|_{H^1(\tilde{K})}
 \end{aligned}$$

Scelto infine  $\mathbf{v} = \mathbf{e}_h$ ,

$$\begin{aligned}
 \|\mathbf{e}_h\|_{H^1(\Omega)}^2 \simeq |a(\mathbf{e}_h, \mathbf{e}_h)| &\leq C \sum_{K \in \mathcal{T}_h} \{ \|r_K\|_K h_K + \|R_K\|_{\partial K} h_K^{1/2} \} \|\mathbf{e}_h\|_{H^1(\tilde{K})} \\
 &\leq C \left( \sum_{K \in \mathcal{T}_h} \eta_K^2(u_h; h_K) \right)^{1/2} \left( \sum_{K \in \mathcal{T}_h} \|\mathbf{e}_h\|_{H^1(\tilde{K})}^2 \right)^{1/2},
 \end{aligned}$$

con  $\eta_K(u_h; h_K)$  stimatore locale dato

$$\eta_K(u_h; h_K) = h_K \|r_K\|_{L^2(K)} + h_K^{1/2} \|R_K\|_{\partial K}.$$

Abbiamo dunque

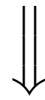
$$\begin{aligned}
 |a(e_h, v)| &= \left| \sum_{K \in \mathcal{T}_h} \{ (\mathbf{r}_K, v - v_h)_K - (\mathbf{R}_K, v - v_h)_{\partial K} \} \right| \\
 \text{(CS)} \quad &\leq \sum_{K \in \mathcal{T}_h} \{ \|r_K\|_K \|v - v_h\|_K + \|R_K\|_{\partial K} \|v - v_h\|_{\partial K} \} \\
 \mathbf{v}_h = \mathbf{I}_h(\mathbf{v}) \quad &\leq C \sum_{K \in \mathcal{T}_h} \{ \|r_K\|_K h_K |v|_{H^1(\tilde{K})} + \|R_K\|_{\partial K} h_K^{1/2} \|v\|_{H^1(\tilde{K})} \} \\
 &\leq C \sum_{K \in \mathcal{T}_h} \{ \|r_K\|_K h_K + \|R_K\|_{\partial K} h_K^{1/2} \} \|v\|_{H^1(\tilde{K})}
 \end{aligned}$$

Scelto infine  $\mathbf{v} = \mathbf{e}_h$ ,

$$\begin{aligned}
 \|\mathbf{e}_h\|_{H^1(\Omega)}^2 \simeq |a(\mathbf{e}_h, \mathbf{e}_h)| &\leq C \sum_{K \in \mathcal{T}_h} \{ \|r_K\|_K h_K + \|R_K\|_{\partial K} h_K^{1/2} \} \|\mathbf{e}_h\|_{H^1(\tilde{K})} \\
 &\leq C \left( \sum_{K \in \mathcal{T}_h} \eta_K^2(u_h; h_K) \right)^{1/2} \|\mathbf{e}_h\|_{H^1(\Omega)},
 \end{aligned}$$

con  $\eta_K(u_h; h_K)$  stimatore locale dato

$$\eta_K(u_h; h_K) = h_K \|r_K\|_{L^2(K)} + h_K^{1/2} \|R_K\|_{\partial K}.$$

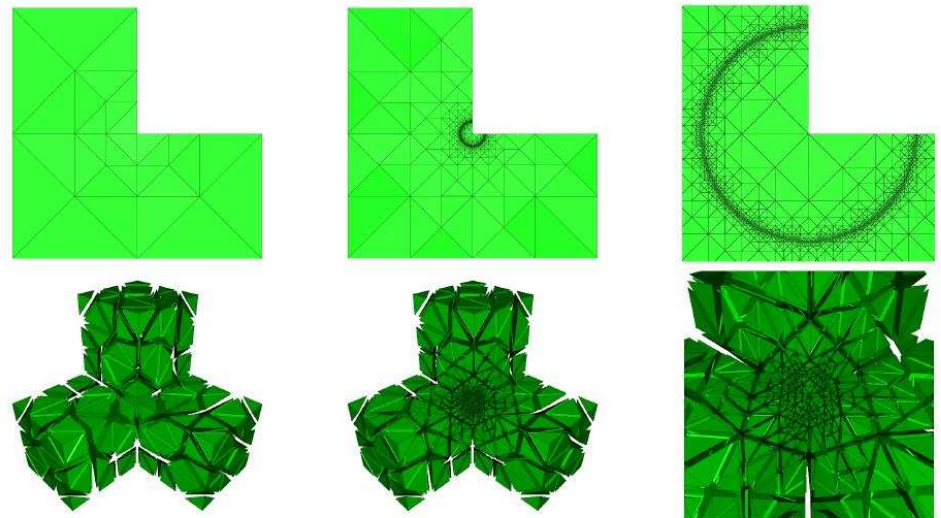


stima a posteriori residuale per la norma  $H^1$  dell'errore di discretizzazione:

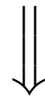
$$\|e_h\|_{H^1(\Omega)} \leq S = C \left( \sum_{K \in \mathcal{T}_h} \eta_K^2(u_h; h_K) \right)^{1/2}$$

con  $\eta_K(u_h; h_K) = h_K \|r_K\|_{L^2(K)} + h_K^{1/2} \|R_K\|_{\partial K}$ .

- Stimatori a posteriori di tipo residuale possono essere facilmente **estesi** a **problemi più generali** (completati con condizioni al bordo generiche) ed utilizzati per guidare una **strategia di adattività di griglia**.



[M. Holst, N. Baker, F. Wang, 1999]



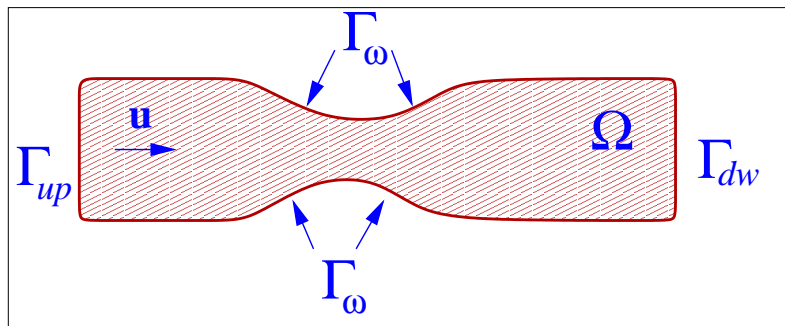
stima a posteriori residuale per la norma  $H^1$  dell'errore di discretizzazione:

$$\|e_h\|_{H^1(\Omega)} \leq S = C \left( \sum_{K \in \mathcal{T}_h} \eta_K^2(u_h; h_K) \right)^{1/2}$$

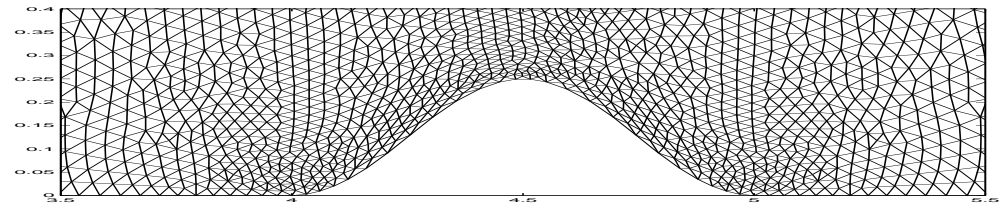
con  $\eta_K(u_h; h_K) = h_K \|r_K\|_{L^2(K)} + h_K^{1/2} \|R_K\|_{\partial K}$ .

- ▶ Stimatori a posteriori di tipo residuale possono essere facilmente **estesi** a **problemi più generali** (completati con condizioni al bordo generiche) ed utilizzati per guidare una **strategia di adattività di griglia**.
- ▶ Si può dimostrare che lo stimatore  $S$  è **affidabile** ed **efficiente**.
- ▶ I risultati teorici forniti sono validi se tutti gli integrali della formulazione ad elementi finiti vengono **calcolati esattamente**. In caso contrario bisognerebbe tenere conto anche degli errori introdotti da eventuali **quadrature numeriche**.

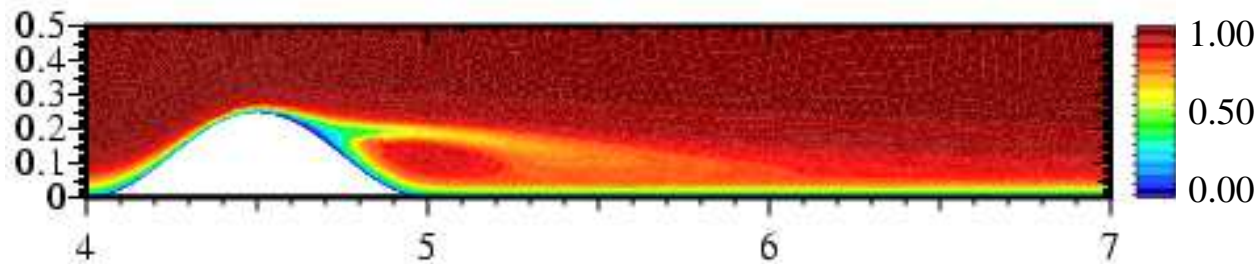
# Un esempio dall'emodinamica



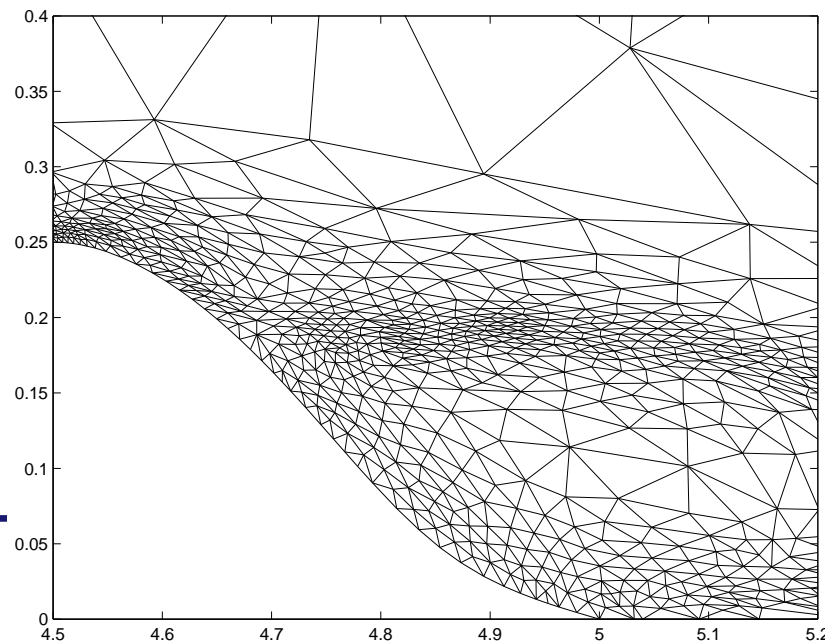
stenosi arteriosa



griglia iniziale



concentrazione di un soluto



Adattività di griglia guidata da stimatori dell'errore

## Adattività basata su stimatori a posteriori dell'errore: altre tecniche

Esistono tecniche di adattività basate su stimatori a posteriori differenti:

- ▶ metodi basati sul **controllo di un funzionale dell'errore**. Sono tecniche con cui è possibile adattare la griglia per **minimizzare** non l'errore di discretizzazione ma un **dato funzionale dell'errore** (per esempio il coefficiente di portanza in problemi di fluidodinamica, valori puntuali, flussi attraverso porzioni di dominio, etc.) (*si rimanda alla lezione sugli stimatori goal-oriented*);
- ▶ metodi basati sulla **ricostruzione del gradiente**. Molto usati nella pratica ingegneristica perchè **computazionalmente economici** (*si rimanda alla lezione sugli stimatori di tipo recovery-based*).
- ▶ tecniche basate sulla risoluzione di **problemi locali**. Si basano sul fatto che  $a(e_h, v) = (f, v) - a(u_h, v)$  e quindi un'indicazione dell'errore locale può essere ottenuta risolvendo tale problema su opportuni patch di elementi che circondano i vertici della griglia. Bisogna fare **attenzione** alle **condizioni al contorno** da imporre al problema locale ed alla scelta degli **spazi discreti** utilizzati per risolverlo.